

# کاربرد مدل رگرسیون چندجمله‌ای برای برآورد بزرگی و زمان وقوع پس‌لرزه‌های اصلی زلزله‌های بزرگ با استفاده از الگوی طبقه‌بندی پس‌لرزه‌ها

علی‌اکبر یحیی‌آبادی<sup>\*</sup>

تاریخ پذیرش مقاله: ۹۹/۱۱/۰۵

سید قاسم رستمی<sup>۱</sup>

تاریخ دریافت مقاله: ۹۹/۰۲/۰۱

\*\*\*\*\*

## چکیده

تحلیل زمانی و مکانی پس‌لرزه‌های یک زمین‌لرزه، در کانون توجه پژوهشگران علم زلزله‌شناسی قرار دارد. این موضوع به دلایل مختلف، از جمله ضرورت برآورد بزرگی و زمان وقوع پس‌لرزه اصلی در بازه زمانی معین پس از وقوع یک زلزله بزرگ در مدیریت بحران اهمیت دارد. از اهداف این پژوهش، شناسایی ارتباط بین بزرگی و زمان وقوع پس‌لرزه اصلی با الگوی رویداد پس‌لرزه‌ها در چند ساعت اولیه پس از وقوع یک زلزله بزرگ است. بدین منظور، یک مدل رگرسیون چندجمله‌ای با ۱۵ پارامتر مختلف که در برگیرنده اطلاعات مربوط به زلزله اصلی و اطلاعات برداشت شده از اولین پس‌لرزه‌های رویداده پس از وقوع زلزله اصلی می‌باشد، پیشنهاد گردید. این ۱۵ پارامتر بر اساس بررسی ضرایب همبستگی پارامترهای مختلف با بزرگی و زمان وقوع پس‌لرزه اصلی انتخاب شده‌اند. ضرایب مدل پیشنهادی با استفاده از ۳۲ رویداد بزرگ ثبت شده مربوط به زلزله‌های اصلی با بزرگی بیش از ۵/۶ در ۱۳ سال متنه به سال ۲۰۲۰ در محدوده کشور ایران و به کمک روش کمترین خطای مربعات برآورد شد. همزمان، آزمون فاکتور واریانس ثانویه برای پذیرش ضرایب و بررسی پایداری مدل به روش شبیه‌سازی خطای مختلف شد. هم‌زمان، آزمون باقیمانده‌های خط انجام شده است. برای یافتن بهترین مدل، با طبقه‌بندی داده‌ها در دو بازه مختلف، ۶۰ حالت در نظر گرفته شده است. بازه اول بررسی پس‌لرزه‌ها در دوره‌های های زمانی ۱، ۲، ۳، ۶، ۹، ۱۲، ۱۵، ۱۸، ۲۱ و ۲۴ ساعت و بازه دوم انتخاب بزرگ‌ترین پس‌لرزه در دوره ۲، ۴، ۸، ۱۲، ۱۶ و ۲۰ روز، بعد از زلزله اصلی است. در نتیجه با تحلیل خطای مدل‌ها در برآورد دو پارامتر بزرگی و زمان وقوع پس‌لرزه اصلی، سه مدل برای پیش‌بینی کوتاه‌مدت، میان‌مدت و بلندمدت پیشنهاد گردید. این مدل‌ها می‌توانند، بزرگی و زمان وقوع بزرگ‌ترین پس‌لرزه در بازه‌های ۲ روزه، ۸ روزه و ۲۰ روزه را با دقت قابل قبول (برای هر سه مدل، دقت متوسط ۰/۱۸ در بزرگی به مقیاس ناتلی و دقت متوسط ۱/۱۸ ساعت در زمان وقوع) برآورد کنند. دقت مدل‌های پیشنهادی با استفاده از ۹ زلزله رویداده در کشورهای ایران و ترکیه، که از آن‌ها در تولید مدل استفاده نشده است اما در چشممه‌های زمین‌لرزه‌ای با ساختار مشابه قرار دارند، مورد ارزیابی قرار گرفت. نتایج حاکی از آن است که مدل بزرگی وقوع پس‌لرزه اصلی قادر است با خطای نسبی کمتر از ۴/۵ درصد، بزرگ‌ای قوی‌ترین پس‌لرزه رویداده در دوره‌های کوتاه‌مدت، میان‌مدت و بلندمدت را پیش‌بینی کند. در حالی که مدل زمان وقوع پس‌لرزه با خطای نسبی متوسط ۷/۲ درصد، از دقت پایین‌تری برخوردار است.

واژه‌های کلیدی: پس‌لرزه اصلی، بزرگی زلزله، زمان وقوع، رگرسیون چندجمله‌ای، زلزله بزرگ، الگوی طبقه‌بندی

\*\*\*\*\*

۱- مریم گروه مهندسی نقشه‌برداری، دانشکده فنی و مهندسی، دانشگاه بجنورد (نویسنده مسئول) gh.rostami@ub.ac.ir

۲- استادیار گروه مهندسی عمران، دانشکده فنی و مهندسی، دانشگاه بجنورد a.yahyaabadi@ub.ac.ir

مدل‌ها نیز وجود داشته، که به تدریج در تحقیقات مختلف به آن‌ها پرداخته شده است (Enescu, Mori, & Miyazawa, 2007:9). این تحقیقات بیشتر در زمینه مدل‌سازی توزیع و پخش پس‌لرزه‌ها به طور متوسط انجام شده است. در پژوهش‌هایی که در ایران انجام شده، توزیع زمین‌لرزه‌ها به کمک منحنی پوش پیشنهاد شده است (ریاضی و قیطانچی، ۱۳۹۴). همچنین امروزه بر روی ارتباط پس‌لرزه‌ها با ویژگی‌های ساختاری گسل و شرایط فیزیکی و محلی، تحقیقات زیادی انجام شده است (Christophersen & Smith, 2000:2). در مواردی هم که پس‌لرزه‌ها روند کاهشی ندارند، از مدل‌های دیگری نظیر مدل ETAS استفاده شده است (دادوی، و همکاران، ۱۳۹۷:۳۱).

جدول ۱: پنجره زمانی و مکانی پس‌لرزه‌ها بر حسب بزرگی زلزله اصلی (Gardner & Knopoff, 1974:1366)

| فاصله زمانی (روز) | فاصله مکانی (کیلومتر) | بزرگی زلزله (ریشتر) |
|-------------------|-----------------------|---------------------|
| ۶                 | ۱۹/۵                  | ۲/۵                 |
| ۱۱/۵              | ۲۲/۵                  | ۳/۰                 |
| ۲۲                | ۲۶                    | ۳/۵                 |
| ۴۲                | ۳۰                    | ۴/۰                 |
| ۸۳                | ۳۵                    | ۴/۵                 |
| ۱۵۵               | ۴۰                    | ۵/۰                 |
| ۲۹۰               | ۴۷                    | ۵/۵                 |
| ۵۱۰               | ۵۴                    | ۶/۰                 |
| ۷۹۰               | ۶۱                    | ۶/۵                 |
| ۹۱۵               | ۷۰                    | ۷/۰                 |
| ۹۶۰               | ۸۱                    | ۷/۵                 |
| ۹۸۵               | ۹۴                    | ۸/۰                 |

در برخی تحقیقات، توسعه مدل‌ها از طریق مطالعات خاص بر روی پس‌لرزه‌های زلزله‌های بزرگ در بعضی مناطق جهان نیز انجام شده است. از جمله می‌توان به مدل‌سازی احتمالی پس‌لرزه ۱۱ زلزله مهم در منطقه جنوب

## ۱- مقدمه

پس از وقوع یک زمین‌لرزه نسبتاً بزرگ، با توجه به میزان گسیختگی گسل و مکانیسم حرکت پوسته در کانون زلزله، تا مدت زمانی معین تعدادی پس‌لرزه (وابسته به زلزله اصلی) در پنجره زمانی و مکانی اتفاق می‌افتد (دادوی و همکاران، ۱۳۹۷:۳۵). امروزه مطالعه پس‌لرزه‌ها از چند یک چشمۀ زلزله بوده و از الگوی خاصی پیروی می‌کند (ریاضی‌راد، ۱۳۸۵). لذا، در برآورد انرژی آزاد شده، روند مهاجرت پس‌لرزه‌ها، تعیین گسل‌های پنهان و تکمیل و اصلاح نقشه‌های خطرپذیری زلزله حائز اهمیت می‌باشد (Ogata & Shimazaki, 1984:1757-1765).

از طرف دیگر، آگاهی از شدت و زمان تقریبی پس‌لرزه اصلی، می‌تواند در آمادگی و جلوگیری از آسیب‌های بعد از زلزله اصلی، نقش بسزایی داشته باشد. چه بسا، ممکن است یک پس‌لرزه اصلی بتواند ساختمان‌هایی که دچار آسیب شده‌اند، را مورد تهدید جدی قرار دهد. به‌طور دقیق نمی‌توان پس‌لرزه‌ها را از سایر زلزله‌های مرتبط با یک گسل که در فاصله زمانی و مکانی از زلزله اصلی روی می‌دهند، جدا کرد. اما، مهم‌ترین جداسازی عمومی مربوط به تحقیق گاردنر و نوپوف است، که نتایج آن در جدول ۱ خلاصه شده است.

از خصوصیات مهم پس‌لرزه‌ها برای اکثر زمین‌لرزه‌ها، کاهش تعداد و کاهش بزرگی آن‌ها، با گذشت زمان است که تحقیقات زیادی بر روی مدل‌های این کاهش صورت گرفته است.

اولین مطالعه بنیادی روی این موضوع منجر به قانون هیپربولیک آموری شد (Omori, 1894:115)، که بعدها توسط اوتسو با کمک تحلیل پس‌لرزه‌های مربوط به زمین‌لرزه‌ای ژاپن اصلاح گردید (Utsu, 1970:144). در ادامه این اقدامات، ادغام رابطه معروف گوتنبرگ-ریشتر با قانون آموری نیز صورت گرفته است (Reisenberg & Jones, 1989: 1173). مشکلات زیادی در ثبت پس‌لرزه‌های اولیه و تعیین پارامترهای این

## فصلنامه علمی - پژوهشی اطلاعات جغرافیایی (جغر)

کاربرد مدل رگرسیون چندجمله‌ای... / ۱۱۳

اصلی، به اتمام رسیده و پس از آن روند کاهشی آنها شروع می‌شود (کامرانزاد و همکاران ۱۳۹۴: ۱۶۵).

در این پژوهش، تلاش شد تا بر مبنای اطلاعات پس‌لرزه‌های رویداده در چند ساعت ابتدایی بعد از وقوع زلزله اصلی، زمان و بزرگی پس‌لرزه اصلی برآورد شود. تعیین حداقل زمان مورد نیاز برای برداشت اطلاعات پس‌لرزه‌های رویداده پس از وقوع زلزله اصلی، به عنوان ورودی مدل با هدف پیش‌بینی مشخصات پس‌لرزه اصلی، مدنظر بوده است.

بدین منظور، پس‌لرزه‌های مربوط به زلزله‌های بزرگ (که در طول یک هفته حداقل ۱۰ پس‌لرزه دارند) در گروه‌های مختلف چند ساعتی طبقه‌بندی شدند. با توجه به این‌که، زلزله‌ها از نظر تراکم پس‌لرزه‌ها در ساعت‌های اولیه متفاوت می‌باشند، یک مدل چندجمله‌ای متشکل از ۱۵ پارامتر وابسته، شامل اطلاعات مربوط به اولین پس‌لرزه‌های رویداده، انتخاب و ضرایب مدل بر اساس داده‌های مربوط به ۳۲ زلزله ثبت شده در ایران به دست آمد. در انتهای، بهترین مدل‌ها از نظر کمترین خطای انتخاب و دقت آنها در پیش‌بینی بزرگی و زمان وقوع پس‌لرزه اصلی برای ۸ زلزله دیگر در ایران و ترکیه (که از اطلاعات آنها در ساخت مدل استفاده نشده است)، مورد ارزیابی قرار گرفت.

### ۲- داده‌های مورد استفاده

پنهان وسیع ایران در مسیر کمربند آلپ-هیمالیا قرار گرفته و بر طبق نقشه‌های خطرپذیری زلزله، اکثر مراکز جمعیتی کشور در مناطق با خطر نسبی زیاد تا خیلی زیاد قرار دارند. بررسی کاتالوگ‌های زلزله ایران در ۱۳ سال متنه‌ی به سال ۲۰۲۰ نشان می‌دهد، هر سال به طور متوسط، ۳۳۰۰ زمین‌لرزه در محدوده ۲/۵ تا ۳/۵ ریشتر، تعداد ۴۸۰ زمین‌لرزه در محدوده ۳/۵ تا ۴/۵ ریشتر، تعداد ۵۵ زمین‌لرزه در محدوده ۴/۵ تا ۵/۵ ریشتر، تعداد ۵ زمین‌لرزه در محدوده ۵/۵ تا ۶/۵ ریشتر و هر ۲/۶ سال یک زلزله بزرگ‌تر از ۶/۵ ریشتر روی داده است.

شرق اسپانیا، برای تجزیه و تحلیل مکانی و زمانی آنها اشاره کرد. اساس این تحقیق نیز برآورد پارامترهای مدل اصلاح شده آموری و آموری-اوتسو و توسعه آنها است (Hamdache, Peláez, & Talbi, 2013: 57-67).

به طور مشابه، برای دستیابی به الگوی پس‌لرزه‌ها در زمین‌لرزه‌های دوقولو، یک مطالعه خاص بر پایه قانون آموری-اوتسو برای زلزله‌های دوقولوی در مرکز کشور نیپال انجام شده است (Thapa, Tao, Fan, & Tao, 2018: 5-9). در یک مطالعه دیگر، تجزیه و تحلیل آماری کمیت بزرگی پس‌لرزه‌ها در دامنه زمان و مکان برای زلزله ۶/۵ ریشتری در کشور ترکیه انجام شده است.

این مطالعه پس از بررسی چند مدل، قانون اصلاح شده آموری را منطبق بر بیش از ده هزار پس‌لرزه در زلزله مذکور انتخاب می‌نماید (Öztürk & Şahin, 2019: 5-23). در جای دیگر، یکی از روش‌های پیشنهاد شده برای جایگزین کردن قانون آموری و اوتسو، استفاده از مدل فیزیکی با بکار بردن کمیت‌های وابسته به گسل، نظیر درجه حرارت هوا و کاهش تنش تجمیعی است (Marcellini, 1997: 139-140).

اخیراً نیز مقایسه بین دو روش رگرسیون لجستیک ساده و الگوریتم هوش مصنوعی (ML) از طریق کمیت‌های وابسته به گسل (نظیر تغییرات استرس، نرخ لغزش و فاصله هندسی تا کانون زلزله)، برای مدل‌سازی مکانی پس‌لرزه‌های زلزله ۷/۳ ریشتری کرمانشاه در سال ۱۳۹۶ انجام شده است (Karimzadeh, Matsuoka, Kuang, & Ge, 2019: 5-8).

با توجه به تجربه موفق استفاده از مدل‌های ریاضی در برآورد بزرگی و زمان وقوع زلزله‌ها (رستمی و یحیی‌آبادی، ۱۳۹۱)، در این مطالعه نیز از مدل‌های چندجمله‌ای در مطالعه رفتار پس‌لرزه‌ها استفاده شده است.

بررسی اولیه این مقاله بر روی پس‌لرزه‌های رویداده در زلزله‌های مختلف نشان داد که توزیع پس‌لرزه‌ها در ۲۴ ساعت ابتدایی در مدل‌سازی پس‌لرزه‌ها حائز اهمیت است. به طوری که بر طبق قانون آموری و با توجه به رفتار گسل، آشفتگی پس‌لرزه‌ها از ۰/۵ تا ۲۰ ساعت پس از زلزله

نیز مدنظر نبوده است. زیرا رفتار منابع لرزه‌زا در مناطق مختلف جغرافیایی با یکدیگر متفاوت است.

- برخی زلزله‌های بزرگ، خود پس‌لرزه یک زلزله بزرگ تر هستند که نمی‌توان از آن‌ها در این تحقیق استفاده کرد. بررسی اولیه بر روی این زمین‌لرزه‌ها نشان داد که بزرگی ( $M_a$ ) و زمان وقوع پس‌لرزه اصلی ( $dt_a$ )، در مدت زمان ۲۴ روز پس از وقوع زلزله اصلی، همبستگی معنی‌داری با بزرگی زلزله اصلی ( $M$ ) و تعداد پس‌لرزه‌های رویداده در ۱۲ ساعت اولیه ( $n$ ) دارد.

با برآش این داده‌ها از طریق تابع چندجمله‌ای زیر، می‌توان به نتایجی رسید که استفاده از آن‌ها در ادامه تحقیق

مفید خواهد بود:

$$M_a = a_1 + \frac{a_2}{M} + a_3 n + a_4 n \times M + a_5 n^2 \dots \quad (1)$$

$$+ a_6 M \times n^2 + a_7 \frac{M}{n^2} + a_8 (M + n)$$

$$dt_a = b_1 + \frac{b_2}{M} + b_3 n + b_4 n \times M + b_5 n^2 \dots \quad (2)$$

$$+ b_6 M \times n^2 + b_7 \frac{M}{n^2} + b_8 (M + n)$$

در این دو مدل، کمیت‌ها شامل بزرگی پس‌لرزه اصلی ( $M_a$ )، زمان وقوع پس‌لرزه اصلی ( $dt_a$ )، بزرگی زلزله اصلی ( $M$ ) و تعداد پس‌لرزه‌ها در ۱۲ ساعت ابتدایی پس از وقوع زلزله اصلی ( $n$ ) است. ضرایب این دو مدل ( $a_1$  تا  $a_8$  و  $b_1$  تا  $b_8$ ) به روش کمترین خطای مربعات برآورد شدند. سپس نمودارهای همتراز بزرگی پس‌لرزه اصلی و زمان وقوع آن بر حسب بزرگی زلزله اصلی ( $M$ ) و تعداد پس‌لرزه‌های رویداده در ۱۲ ساعت اولیه ( $n$ ، مطابق نگاره‌های ۱ و ۲ رسم شد).

با بررسی نگاره ۱ می‌توان به نتایج زیر در خصوص

پیش‌بینی بزرگی پس‌لرزه اصلی ( $M_a$ ) دست یافت:

- برای زلزله‌های با بزرگی کمتر از  $6/5$  در مقیاس ناتالی، با افزایش تعداد پس‌لرزه‌ها، بزرگی پس‌لرزه اصلی نیز افزایش می‌یابد.

با توجه به جدول ۱، تنها زلزله‌های بزرگ منجر به پس‌لرزه‌هایی در یک دوره زمانی طولانی مدت می‌شوند. لذا در این مقاله به منظور مدل‌سازی مناسب، از زلزله‌های با بزرگی بیشتر از  $5/6$  در مقیاس ناتالی در محدوده طول جغرافیایی  $42^{\circ}$  تا  $64^{\circ}$  درجه شرقی و عرض جغرافیایی  $24^{\circ}$  تا  $41^{\circ}$  درجه شمالی استفاده شد. ضمناً زلزله‌هایی که در ۲۴ ساعت اول دارای پس‌لرزه قابل ملاحظه‌ای نیستند (خصوصاً زلزله‌های منطقه جنوب شرق ایران-مرز پوسته هندی و عربی که کمتر از  $10^{\circ}$  پس‌لرزه در طول یک هفته بعد از وقوع زلزله اصلی دارند) از لیست زلزله‌های مورد مطالعه حذف شده‌اند.

بازه زمانی برای دسترسی به داده‌های مورد نظر از ابتدای سال  $2006$  تا پایان سال  $2019$  است. منبع مورد استفاده برای جمع‌آوری داده‌ها، کاتالوگ زلزله‌های منتشر شده در سایت مؤسسه رئوفیزیک دانشگاه تهران (IRSC) و همچنین برای ارزیابی مدل‌ها، سایت مرکز بین‌المللی لرزه‌شناسی (ISC) است.

تمامی پس‌لرزه‌ها، دارای بزرگی بیشتر از  $2/5$  در مقیاس ناتالی هستند. مجموعاً  $32$  زلزله برای این تحقیق انتخاب شدند که مشخصات آن‌ها شامل بزرگی زلزله، زمان و مکان وقوع، عمق کانونی و تعداد پس‌لرزه‌ها در بازه  $20$  روزه در جدول ۲ ارائه شده است.

شایان ذکر است  $32$  زلزله عنوان شده در جدول ۲ حداقل تعداد رخداد زلزله‌ای است که می‌توان برای مدل‌سازی در این پژوهش مورد استفاده قرار داد. به دلایل زیر استفاده از تعداد بیشتر رویداد زلزله در این پژوهش میسر نبوده است:

- تعداد زلزله‌های بزرگ که دارای پس‌لرزه‌های قابل ملاحظه بوده و توسط دستگاه‌های شتاب‌نگار ثبت شده باشند، در ایران محدود است.

- زلزله‌های با بزرگی کمتر از  $5/5$  در مقیاس ناتالی، دارای پس‌لرزه اصلی با بزرگی قابل ملاحظه‌ای نیستند. در نتیجه استفاده از آن‌ها در مدل‌سازی ممکن نیست.

- استفاده از زلزله‌های بزرگ ثبت شده در سایر نقاط جهان

فصلنامه علمی - پژوهشی اطلاعات جغرافیایی (جغر)

کاربرد مدل رگرسیون چندجمله‌ای... / ۱۱۵

جدول ۲: زلزله‌های ثبت شده مورد استفاده در این پژوهش از ابتدای سال ۲۰۰۶ تا اکتبر ۲۰۱۹

| ردیف | سال  | ماه | روز | ساعت | دقیقه | ثانیه | عرض جغرافیایی | طول جغرافیایی | عمق (km) | بزرگی (Mn) | تعداد پس‌لرزه بعد از ۲۰ روز | زمان وقوع زلزله (تاریخ میلادی-زمان جهانی) |     |
|------|------|-----|-----|------|-------|-------|---------------|---------------|----------|------------|-----------------------------|---|-----|
|      |      |     |     |      |       |       |               |               |          |            |                             | جغرافیایی                                 | عرض |
| 1    | 2006 | 2   | 28  | 7    | 31    | 3.6   | 28.117        | 56.759        | 15.6     | 5.7        | 32                          |   |     |
| 2    | 2006 | 3   | 25  | 7    | 29    | 0.1   | 27.451        | 55.44         | 21.7     | 6.0        | 83                          |   |     |
| 3    | 2006 | 3   | 31  | 1    | 17    | 2.3   | 33.514        | 48.849        | 16.0     | 6.1        | 199                         |   |     |
| 4    | 2007 | 6   | 18  | 14   | 29    | 50.9  | 34.498        | 50.866        | 14.0     | 5.9        | 60                          |   |     |
| 5    | 2008 | 8   | 27  | 21   | 52    | 40.7  | 32.344        | 47.325        | 20.5     | 5.7        | 198                         |   |     |
| 6    | 2008 | 9   | 10  | 11   | 0     | 35.3  | 27.002        | 55.829        | 9.5      | 6.0        | 120                         |   |     |
| 7    | 2010 | 7   | 20  | 19   | 38    | 12    | 27.04         | 53.899        | 9.5      | 5.8        | 74                          |   |     |
| 8    | 2012 | 12  | 5   | 17   | 8     | 11.6  | 33.493        | 59.547        | 7.8      | 5.6        | 24                          |   |     |
| 9    | 2010 | 7   | 31  | 6    | 52    | 57.8  | 29.703        | 56.812        | 4.0      | 5.8        | 36                          |   |     |
| 10   | 2010 | 8   | 27  | 19   | 23    | 49.5  | 35.488        | 54.466        | 6.7      | 5.9        | 55                          |   |     |
| 11   | 2010 | 9   | 27  | 11   | 22    | 47.9  | 29.693        | 51.618        | 26.1     | 6.1        | 102                         |   |     |
| 12   | 2010 | 12  | 20  | 18   | 41    | 58.3  | 28.443        | 59.153        | 13.3     | 6.5        | 282                         |   |     |
| 13   | 2011 | 1   | 27  | 8    | 38    | 32.8  | 28.289        | 58.948        | 10.0     | 6.0        | 151                         |   |     |
| 14   | 2011 | 10  | 23  | 10   | 41    | 27.8  | 38.665        | 43.708        | 18.0     | 7.1        | 118                         |   |     |
| 15   | 2013 | 11  | 28  | 13   | 51    | 34    | 29.317        | 51.311        | 7.9      | 5.6        | 130                         |   |     |
| 16   | 2018 | 1   | 11  | 6    | 59    | 29.8  | 33.712        | 45.693        | 8.4      | 5.6        | 390                         |   |     |
| 17   | 2012 | 8   | 11  | 12   | 23    | 15.2  | 38.393        | 46.806        | 9.0      | 6.5        | 816                         |   |     |
| 18   | 2018 | 7   | 22  | 5    | 7     | 2.4   | 27.564        | 54.949        | 18.8     | 5.6        | 29                          |   |     |
| 19   | 2013 | 4   | 9   | 11   | 52    | 49.1  | 28.467        | 51.568        | 11.3     | 6.4        | 591                         |   |     |
| 20   | 2013 | 4   | 16  | 10   | 44    | 21    | 28.09         | 62.04         | 92.0     | 7.8        | 18                          |   |     |
| 21   | 2013 | 5   | 11  | 2    | 8     | 8.5   | 26.598        | 57.846        | 14.5     | 6.2        | 294                         |   |     |
| 22   | 2017 | 4   | 5   | 6    | 9     | 8.5   | 35.847        | 60.339        | 6.0      | 6.0        | 427                         |   |     |
| 23   | 2017 | 5   | 13  | 18   | 0     | 59.3  | 37.651        | 57.22         | 7.7      | 5.7        | 43                          |   |     |
| 24   | 2017 | 11  | 12  | 18   | 18    | 16.2  | 34.772        | 45.762        | 18.1     | 7.3        | 1295                        |   |     |
| 25   | 2013 | 11  | 22  | 18   | 30    | 57.5  | 34.289        | 45.555        | 10.0     | 5.8        | 159                         |   |     |
| 26   | 2014 | 8   | 18  | 2    | 32    | 4.1   | 32.711        | 47.638        | 10.0     | 6.3        | 787                         |   |     |
| 27   | 2017 | 12  | 1   | 2    | 32    | 44.3  | 30.738        | 57.372        | 8.1      | 6.2        | 1147                        |   |     |
| 28   | 2018 | 7   | 22  | 10   | 7     | 25.2  | 34.63         | 46.255        | 8.0      | 5.7        | 680                         |   |     |
| 29   | 2018 | 7   | 22  | 20   | 39    | 14.6  | 30.349        | 57.501        | 7.1      | 5.8        | 108                         |   |     |
| 30   | 2018 | 9   | 7   | 6    | 23    | 35.3  | 28.156        | 59.46         | 8.2      | 5.7        | 46                          |   |     |
| 31   | 2018 | 11  | 25  | 16   | 37    | 31.8  | 34.359        | 45.712        | 10.5     | 6.4        | 463                         |   |     |
| 32   | 2019 | 7   | 8   | 7    | 0     | 31.7  | 31.888        | 49.548        | 15.0     | 5.7        | 66                          |   |     |

اگر تعداد پس‌لرزه‌ها در ۱۲ ساعت اولیه بیشتر از ۱۰ باشد،  
 وضعیت پس‌لرزه اصلی در حدود ۱۵۵ تا ۱۶۰ ساعت (به طور متوسط  
 ۶/۵ روز) بعد از وقوع زلزله اصلی، اتفاق می‌افتد.

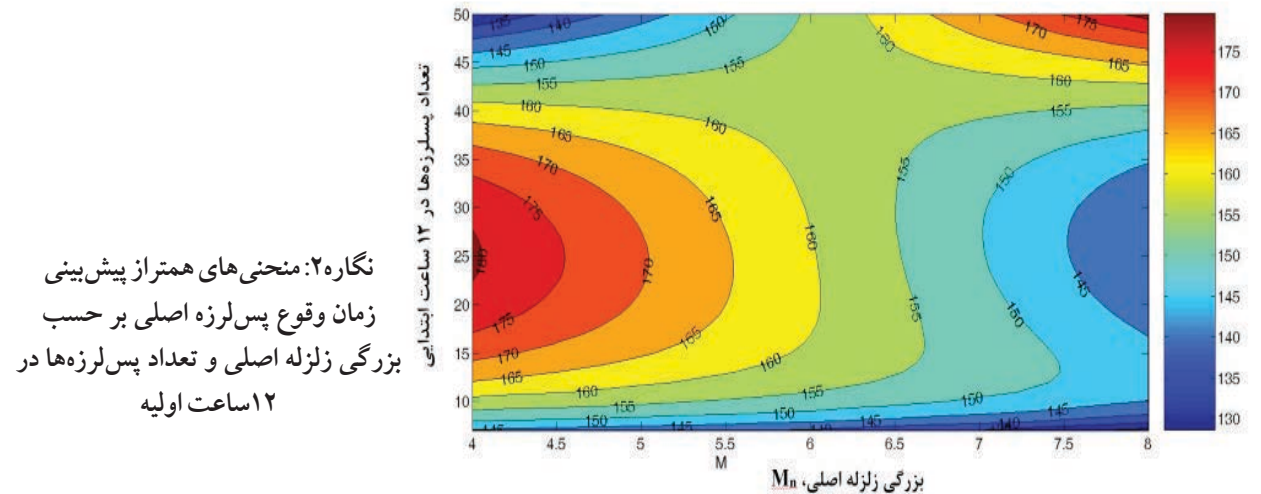
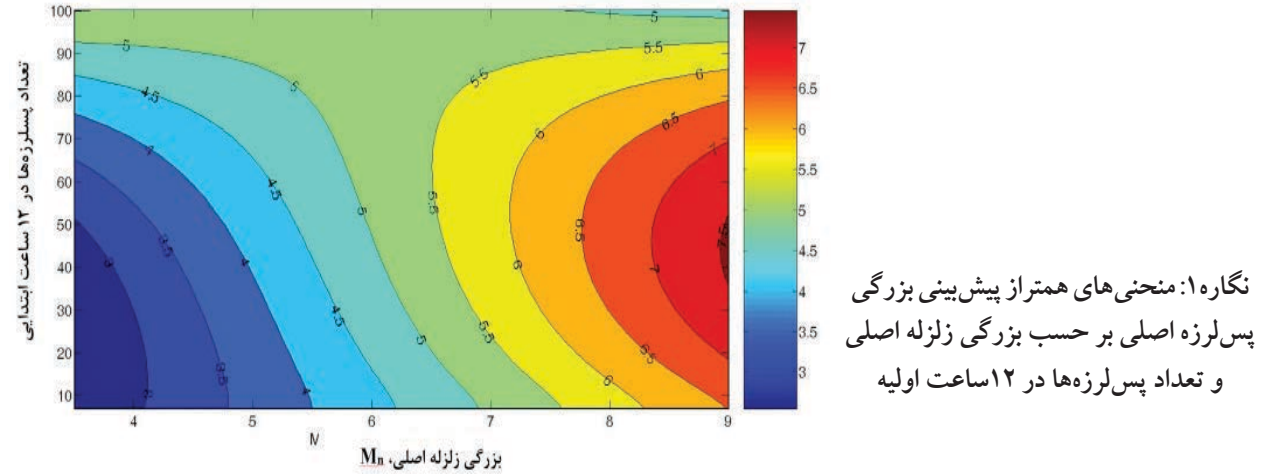
- برای زلزله‌های بزرگ‌تر از ۶/۵ در مقیاس ناتالی، برای  
 حالتی که تعداد پس‌لرزه‌ها در ۱۲ ساعت اول بیشتر از ۳۵  
 پس‌لرزه باشد، با زیاد شدن تعداد پس‌لرزه‌ها، فاصله زمانی  
 وقوع پس‌لرزه اصلی، افزایش می‌یابد.

- به طور کلی می‌توان نتیجه گرفت که با افزایش تعداد  
 پس‌لرزه‌ها، در زلزله‌های کمتر از ۶ در مقیاس ناتالی، پس‌لرزه  
 اصلی زودتر اتفاق می‌افتد. اما در زلزله‌های بزرگ‌تر از ۷ در

مقیاس ناتالی، پس‌لرزه اصلی دیرتر اتفاق می‌افتد.

برای زلزله‌های با بزرگی بیشتر از ۶/۵ در مقیاس ناتالی،  
 وضعیت پس‌لرزه اصلی در حدود ۴۰ تا ۶۰ پس‌لرزه باشد،  
 در ۱۲ ساعت اولیه، در محدوده ۴۰ تا ۶۰ پس‌لرزه اتفاق می‌افتد. اما در صورتی که تعداد  
 بزرگ‌ترین پس‌لرزه اتفاق می‌افتد. اما در صورتی که تعداد  
 پس‌لرزه‌ها، خارج از محدوده ۴۰ تا ۶۰ پس‌لرزه باشد، بزرگی  
 پس‌لرزه اصلی کاهش می‌یابد. به عبارت دیگر، اگر تعداد  
 پس‌لرزه‌ها خیلی کمتر یا خیلی بیشتر از تعداد ۵۰ پس‌لرزه  
 باشد، آنگاه پس‌لرزه اصلی از شدت زیادی برخوردار نیست.  
 به همین ترتیب با بررسی نگاره ۲ می‌توان به نتایج زیر در  
 خصوصیات زمان وقوع پس‌لرزه اصلی دست یافت:

- برای زلزله‌های با بزرگی بین ۶ تا ۶/۵ در مقیاس ناتالی،



## فصلنامه علمی - پژوهشی اطلاعات جغرافیایی (جغر)

کاربرد مدل رگرسیون چندجمله‌ای... / ۱۱۷

اصلی، مربوط به کمیت‌های  $n_3$  و  $n_{1/2}$  است. یعنی بزرگی پس‌لرزه اصلی، ارتباط خوبی با تعداد زلزله‌های طبقه‌بندی شده در گروه ۲/۵ تا ۳/۵ ریشتر در بازه زمانی اول یعنی بازه ( $dt_1$ ) و با شدت بیشتر با تعداد کل پس‌لرزه‌ها در مدت زمان نصف بازه زمانی اول ( $dt_{1/2}$ ) دارد. همچنین بیشترین ضریب همبستگی با زمان و قوع پس‌لرزه اصلی، مربوط به پارامترهای  $n_5$  و  $M$  می‌باشد. به عبارت دیگر، ارتباط زیادی بین زمان و قوع پس‌لرزه اصلی با تعداد پس‌لرزه‌های گروه ۴/۵ تا ۵/۵ ریشتر در بازه اول و بزرگی زلزله اصلی برقرار است.

**جدول ۳:** معرفی کمیت‌های لازم برای طبقه‌بندی پس‌لرزه‌ها و مدل‌های برآورده بزرگی و زمان و قوع پس‌لرزه اصلی

|           |  |
|-----------|--|
| JD        | روز ژولین و قوع زلزله اصلی:                                  |
| M         | بزرگی زلزله اصلی در مقیاس ناتالی:                            |
| $\lambda$ | طول جغرافیایی بر حسب درجه:                                   |
| $\varphi$ | عرض جغرافیایی بر حسب درجه:                                   |
| h         | ساعت و قوع زلزله بر حسب زمان جهانی:                          |
| $n_1$     | تعداد پس‌لرزه‌ها در بازه $dt_1$ :                            |
| $n_{1/2}$ | تعداد پس‌لرزه‌ها در بازه $dt_{1/2}$ :                        |
| $n_{1/4}$ | تعداد پس‌لرزه‌ها در بازه $dt_{1/4}$ :                        |
| $n_3$     | تعداد پس‌لرزه‌ها با بزرگی ۲/۵ تا ۳/۵ در بازه $dt_1$ :        |
| $n_4$     | تعداد پس‌لرزه‌ها با بزرگی ۳/۵ تا ۴/۵ در بازه $dt_1$ :        |
| $n_5$     | تعداد پس‌لرزه‌ها با بزرگی ۴/۵ تا ۵/۵ در بازه $dt_1$ :        |
| $n_6$     | تعداد پس‌لرزه‌ها با بزرگی بزرگ‌تر از $5/5$ در بازه $dt_1$ :  |
| $dt_3$    | متوسط فاصله زمانی بین پس‌لرزه‌ها با بزرگی $2/5$ تا $3/5$ :   |
| $dt_4$    | متوسط فاصله زمانی بین پس‌لرزه‌ها با بزرگی $3/5$ تا $4/5$ :   |
| $dt_5$    | متوسط فاصله زمانی بین پس‌لرزه‌ها با بزرگی $4/5$ تا $5/5$ :   |
| $dt_6$    | متوسط فاصله زمانی بین پس‌لرزه‌ها با بزرگی بزرگ‌تر از $5/5$ : |

### ۳- مدل‌های برآورده بزرگی و زمان و قوع پس‌لرزه اصلی یک زمین‌لرزه بزرگ

برای انتخاب مدل مناسب، با استفاده از روش آنالیز اولیه (Pre Analysis)، مدل‌های ریاضی خطی و غیرخطی با پارامترهای مختلف انتخاب شد. سپس با بررسی خطاها در هر یک از آن‌ها از طریق برآش داده‌ها در هریک از مدل‌ها، در نهایت یک مدل رگرسیون چندجمله‌ای برای برآورده زمان و بزرگی پس‌لرزه اصلی یک زلزله بزرگ پیشنهاد شد. شایان ذکر است استفاده از این روش در مقایسه با دیگر روش‌های برآش و رگرسیون دارای خطای کمتری می‌باشد (Ikram and U. Qamar 2016: 2-4). لذا، در تحقیقات قبلی نیز برای برآورده و پیش‌بینی پارامترهای مختلف زلزله، از جمله بزرگی و موقعیت آن مورد بررسی قرار گرفته است (Asencio, et al., 2018: 2-3 & Castellaro, et al., 2006: 913-915)

در ابتدا توضیحاتی در ارتباط با ساخت این مدل و پارامترهای آن ارائه می‌شود. در اولین گام، دو بازه زمانی به شرح زیر انتخاب شد:

- بازه زمانی اول برای طبقه‌بندی پس‌لرزه‌ها ( $dt_1$ )، که در این مدت پس از زلزله اصلی، تمام پس‌لرزه‌های ثبت شده به عنوان ورودی مدل انتخاب و مطابق جدول ۳، کلیه داده‌های جدول ۲ طبقه‌بندی شدند تا بر اساس آن‌ها بتوان زمان و بزرگی پس‌لرزه اصلی را پیش‌بینی کرد. برای بازه زمانی اول ( $dt_1$ )، زمان‌های ۱، ۲، ۳، ۶، ۹، ۱۲، ۱۵، ۱۸، ۲۱، ۲۴ ساعت پیشنهاد شده است.

- بازه زمانی برآورده مشخصات بزرگ‌ترین پس‌لرزه بعد از وقوع زلزله اصلی به عنوان پس‌لرزه اصلی ( $dt_2$ ). که برای این بازه زمانی، مقادیر ۲، ۴، ۸، ۱۲، ۱۶ و ۲۰ روز پیشنهاد شده است.

پس از بررسی پس‌لرزه‌ها، وابستگی نسبی بین کمیت‌های انتخاب شده در جدول ۳، با بزرگی و زمان و قوع پس‌لرزه اصلی مشهود است.

ضرایب همبستگی برای این کمیت‌ها در جدول ۴ نشان داده شده است. بیشترین ضرایب همبستگی با بزرگی پس‌لرزه

هر یک از آنها و استفاده از روش برآورد کمترین خطای مربعات نیاز است. بدین منظور، بزرگی پس‌لرزه‌های اصلی در یک بردار، که با  $y$  نامگذاری می‌شود، در نظر گرفته شد و ماتریس ضرایب مدل (A) به صورت روابط ۵ و ۶ تشکیل شد. از همین روش نیز برای برآورد ضرایب مدل پیش‌بینی زمان وقوع پس‌لرزه اصلی، به صورت روابط ۷ و ۸ استفاده شد. در صورتی که مشکل تکینگی (سینگولاریتی) در ماتریس معکوس وجود داشته باشد، برای رفع آن از روش منظم‌سازی تیخونوف استفاده می‌شود.

با توجه به کمیت‌های انتخاب شده در جدول ۳، مدلی برای برآورد بزرگی ( $M_a$ ) و فاصله زمانی ( $dt_a$ ) پس‌لرزه اصلی به صورت روابط ۳ و ۴ در نظر گرفته شد:

(۳)

$$\begin{aligned} M_a = & a_1 + a_2 M + a_3 M^2 + a_4 M^3 + a_5 M \times n_1 \dots \\ & + a_6 n_3 + a_7 n_3^2 + a_8 dt_3 + a_9 n_4 + a_{10} n_4^2 \dots \\ & + a_1 dt_4 + a_2 n_5 + a_3 n_5^2 + a_4 dt_5 + a_5 n_6 \dots \\ & + a_6 dt_6 + a_7 n_1 + a_8 n_1^2 + a_9 n_1 + a_{10} h \dots \\ & + a_2 h^2 + a_3 \varphi + a_4 \lambda + a_5 \varphi \times \lambda \dots \\ & + a_6 n_3 \times dt_3 + a_7 n_4 \times dt_4 + a_8 n_5 \times dt_5 \end{aligned}$$

(۴)

$$\begin{aligned} dt_a = & b_1 + b_2 M + b_3 M^3 + b_4 M^4 + b_5 M \times n_1 \dots \\ & + b_6 n_3 + b_7 n_3^2 + b_8 dt_3 + b_9 n_4 + b_{10} n_4^2 \dots \\ & + b_{11} dt_4 + b_{12} n_5 + b_{13} n_5^2 + b_{14} dt_5 + b_{15} n_6 \dots \\ & + b_{16} dt_6 + b_{17} n_1 + b_{18} n_1^2 + b_{19} n_1 + b_{20} / h \dots \\ & + b_{21} / h^2 + b_{22} / \varphi + b_{23} / \lambda + b_{24} \varphi \times \lambda \dots \\ & + b_{25} n_3 \times dt_3 + b_{26} n_4 \times dt_4 + b_{27} n_5 \times dt_5 \end{aligned}$$

برای تعیین ضرایب هر مدل ( $a_1$  تا  $a_{10}$  و  $b_1$  تا  $b_{27}$ ،  
به اطلاعات ۳۲ زلزله انتخاب شده، طبقه‌بندی پس‌لرزه‌های

$$\begin{bmatrix} M_{a1} \\ M_{a2} \\ M_{a3} \\ \vdots \\ M_{an} \end{bmatrix} = \begin{bmatrix} 1 & M_1 & M_1^2 & M_1^3 & n_{1,1}M_1 & n_{3,1} & n_{5,1}^2 & dt_{3,1} & n_{4,1} \\ 1 & M_1 & M_1^2 & M_1^3 & n_{1,2}M_1 & n_{5,2} & n_{5,2}^2 & dt_{3,2} & n_{4,2} \\ 1 & M_1 & M_1^2 & M_1^3 & n_{1,3}M_1 & n_{3,3} & n_{5,3}^2 & dt_{3,3} & n_{4,3} \\ \vdots & \vdots \\ 1 & M_1 & M_1^2 & M_1^3 & n_{1,n}M_1 & n_{3,n} & n_{5,n}^2 & dt_{3,n} & n_{4,n} \end{bmatrix} \begin{bmatrix} a_1 \\ a_2 \\ a_3 \\ a_4 \\ a_5 \\ a_6 \\ a_7 \\ a_8 \\ a_9 \\ a_{10} \end{bmatrix}$$

$$y_{n \times 1} = A_{n \times m} \cdot X_{m \times 1} \quad \Rightarrow \quad X = (A^T A)^{-1} A^T y \quad (۶)$$

جدول ۴: ضریب همبستگی بین بزرگی و زمان وقوع پس‌لرزه اصلی با پارامترهای انتخاب شده برای مدل پیش‌بینی پس‌لرزه بر حسب درصد

| $dt_6$ | $n_6$ | $dt_5$ | $n_5$ | $dt_4$ | $n_4$ | $dt_3$ | $n_3$ | پارامترها                    |
|--------|-------|--------|-------|--------|-------|--------|-------|------------------------------|
| -4.3   | -5.2  | -5.3   | -0.9  | 4.4    | -17.0 | -6.1   | 48.2  | همبستگی با بزرگی پس‌لرزه     |
| 21.2   | 17.7  | 42.5   | 49.6  | 24.2   | 38.5  | -1.2   | -7.2  | همبستگی با زمان وقوع پس‌لرزه |

ادامه جدول ۴: ضریب همبستگی بین بزرگی و زمان وقوع پس‌لرزه اصلی با پارامترهای انتخاب شده برای مدل پیش‌بینی پس‌لرزه بر حسب درصد

| $h$   | $\lambda$ | $\varphi$ | $n_1$ | $n_{1/2}$ | $n_{1/4}$ | M    | JD   | پارامترها                    |
|-------|-----------|-----------|-------|-----------|-----------|------|------|------------------------------|
| 4.7   | 2.7       | -3.7      | 21.5  | 44.3      | 30.2      | -6.0 | 28.1 | همبستگی با بزرگی پس‌لرزه     |
| -24.4 | -20.5     | 1.4       | 32.2  | 17.2      | 8.4       | 48.4 | -4.6 | همبستگی با زمان وقوع پس‌لرزه |

## فصلنامه علمی - پژوهشی اطلاعات جغرافیایی (۷۸)

کاربرد مدل رگرسیون چندجمله‌ای... / ۱۱۹

### ۴- یافته‌ها و انتخاب مدل‌های سه‌گانه

(۷)

با توجه به مدل‌های ارائه شده در بخش سوم مقاله، به کمک اطلاعات مربوط به ۳۲ زلزله مندرج در جدول ۲، ابتدا ضرایب مدل بزرگی و مدل زمان وقوع پس‌لرزه اصلی برای هر یک از ۶۰ حالت مربوط به مقادیر مفروض برای  $dt_2$  و  $dt_1$  محاسبه شده است (انتخاب زمان‌های ۱، ۲، ۳، ۶، ۹، ۱۲، ۱۵، ۱۸، ۲۱، ۲۴ ساعت برای بازه زمانی اول و زمان‌های ۲، ۴، ۸، ۱۲، ۱۶ و ۲۰ روز برای بازه دوم منجر به ۶۰ حالت خواهد شد).

خطاهای هر حالت، برای مدل برآورده بزرگی پس‌لرزه اصلی در جدول ۵ و برای مدل برآورده فاصله زمانی پس‌لرزه اصلی در جدول ۶ تنظیم شده است. منحنی‌های همتراز ریشه خطای مربعی متوسط در کلیه حالت‌های ۶۰ گانه برای مدل پیش‌بینی بزرگی پس‌لرزه اصلی در نگاره ۳ و به طور مشابه برای مدل پیش‌بینی فاصله زمانی پس‌لرزه اصلی در نگاره ۴ نمایش داده شده است.

این نگاره‌ها نشان می‌دهند که برای پیش‌بینی بزرگی پس‌لرزه اصلی در دوره ۴ روزه بعد از وقوع زلزله اصلی (یعنی  $dt_2$  برابر ۴ روز)، بهترین مدل از نظر کمترین خطای مربوط به حالت طبقه‌بندی پس‌لرزه‌ها با استفاده از بازه زمانی  $dt_1$  برابر ۱ و ۲۱ ساعت است. همچنین می‌توان مشاهده کرد، برای پیش‌بینی فاصله زمانی پس‌لرزه اصلی در دوره ۲ روزه بعد از وقوع زلزله اصلی، بهترین مدل از نظر کمترین خطای می‌تواند برای حالت طبقه‌بندی پس‌لرزه‌ها در حالت ۲۱ و ۲۴ ساعت اولیه باشد.

با توجه به اهمیت پیش‌بینی سریع و براساس بررسی خطاهای مدل در حالات ۶۰ گانه مندرج در جداول ۵ و ۶، سه مدل برای برآورده بزرگ‌ترین پس‌لرزه در بازه‌های زمانی کوتاه‌مدت (۲ روزه)، میان‌مدت (۸ روزه) و بلندمدت (۲۰ روزه) مطابق مشخصات جدول ۷ پیشنهاد شده است. ضرایب هر یک از این سه حالت را برای دو مدل بزرگی و مدل فاصله زمانی، می‌توان در جدول ۷ مشاهده نمود.

$$\begin{bmatrix} dt_{11} \\ dt_{12} \\ dt_{13} \\ \vdots \\ dt_{1n} \end{bmatrix} = \begin{bmatrix} 1 & M_1 & M_1^2 & M_1^4 & n_{1,1}M_1 & n_{3,1} & n_{5,1}^2 & dt_{3,1} & n_{4,1} & \dots \\ 1 & M_1 & M_1^2 & M_1^4 & n_{1,2}M_1 & n_{3,2} & n_{5,2}^2 & dt_{3,2} & n_{4,2} & \dots \\ 1 & M_1 & M_1^2 & M_1^4 & n_{1,3}M_1 & n_{3,3} & n_{5,3}^2 & dt_{3,3} & n_{4,3} & \dots \\ \vdots & \ddots \\ 1 & M_1 & M_1^2 & M_1^4 & n_{1,n}M_1 & n_{3,n} & n_{5,n}^2 & dt_{3,n} & n_{4,n} & \dots \\ \vdots & \ddots \\ 1 & M_1 & M_1^2 & M_1^4 & n_{1,1}M_1 & n_{3,1} & n_{5,1}^2 & dt_{3,1} & n_{4,1} & \dots \\ \vdots & \ddots \\ \vdots & \ddots \end{bmatrix} \begin{bmatrix} h_1 \\ h_2 \\ h_3 \\ h_4 \\ h_5 \\ h_6 \\ h_7 \\ h_8 \\ h_9 \\ \vdots \\ \vdots \end{bmatrix}$$

$$y'_{n \times 1} = B_{n \times m} \cdot X'_{m \times 1} \Rightarrow X' = (B^T B)^{-1} B^T y'$$

برای بررسی خطای هر مدل پیش‌بینی، بردار باقیمانده‌ها (یا خطاهای) طبق رابطه (۹) محاسبه و خطای مربعی متوسط این بردار (MSE)، به عنوان ملاک خطا مدل، مورد ارزیابی قرار گرفت:

$$e = y - AX \quad e' = y' - BX' \quad (9)$$

برای ارزیابی خطای MSE، مدل‌های مختلف بررسی شد. چنانچه عنوان شد، برای بازه زمانی اول ( $dt_1$ )، زمان‌های ۱، ۲، ۳، ۶، ۹، ۱۲، ۱۵، ۱۸، ۲۱ و ۲۴ ساعت و برای بازه دوم ( $dt_2$ )، زمان‌های ۲، ۴، ۸، ۱۲، ۱۶ و ۲۰ روز، در نظر گرفته شد، یعنی در مجموع ۶۰ مدل مختلف مورد ارزیابی قرار گرفت. برای تمام این ۶۰ حالت، ضرایب مدل و خطای متناظر MSE محاسبه شد.

در نهایت، مدل با کمترین خطای MSE به عنوان مدل مناسب برای برآورده پس‌لرزه اصلی یک زلزله مشخص انتخاب خواهد شد. ارزیابی ضرایب به دست آمده به واسطه‌ی تست فاکتور واریانس ثانویه و ارزیابی پایداری ضرایب از طریق تست باقیمانده‌های داده‌های برآورده شده با روش شبیه‌سازی اعمال خطای عمدی به ضرایب، قابل انجام است

جدول ۵: خطای مدل پیش‌بینی بزرگی پس‌لرزه اصلی برای الگوهای مختلف طبقه‌بندی پس‌لرزه‌ها

| متوسط فاصله زمانی پس‌لرزه اصلی (ساعت) | متوسط بزرگی پس‌لرزه اصلی (Mn) | حداکثر خطای مدل | حداقل خطای مدل | ریشه MSE | (روز) $dt_2$ | (ساعت) $dt_1$ |
|---------------------------------------|-------------------------------|-----------------|----------------|----------|--------------|---------------|
|                                       |                               |                 |                |          |              |               |
| 12.2                                  | 4.7                           | 0.428           | -0.632         | 0.208    | 2            | 1             |
| 14.0                                  | 4.6                           | 0.933           | -0.669         | 0.336    | 2            | 2             |
| 15.2                                  | 4.6                           | 0.681           | -0.633         | 0.307    | 2            | 3             |
| 18.1                                  | 4.5                           | 0.504           | -0.662         | 0.237    | 2            | 6             |
| 20.0                                  | 4.4                           | 0.781           | -0.412         | 0.244    | 2            | 9             |
| 24.5                                  | 4.3                           | 0.744           | -0.605         | 0.290    | 2            | 12            |
| 26.7                                  | 4.2                           | 0.897           | -0.533         | 0.255    | 2            | 15            |
| 29.5                                  | 4.1                           | 0.628           | -0.400         | 0.223    | 2            | 18            |
| 33.3                                  | 4.0                           | 0.644           | -0.661         | 0.233    | 2            | 21            |
| 34.9                                  | 4.0                           | 0.535           | -0.455         | 0.243    | 2            | 24            |
| 21.0                                  | 4.7                           | 0.517           | -0.621         | 0.238    | 4            | 1             |
| 22.8                                  | 4.7                           | 0.959           | -0.674         | 0.330    | 4            | 2             |
| 23.9                                  | 4.7                           | 0.732           | -0.597         | 0.328    | 4            | 3             |
| 28.2                                  | 4.6                           | 0.842           | -0.789         | 0.333    | 4            | 6             |
| 30.5                                  | 4.5                           | 0.495           | -0.590         | 0.230    | 4            | 9             |
| 37.2                                  | 4.5                           | 0.638           | -0.481         | 0.233    | 4            | 12            |
| 39.7                                  | 4.4                           | 0.662           | -0.577         | 0.265    | 4            | 15            |
| 45.2                                  | 4.3                           | 0.770           | -0.507         | 0.248    | 4            | 18            |
| 48.2                                  | 4.2                           | 0.586           | -0.323         | 0.192    | 4            | 21            |
| 50.0                                  | 4.2                           | 0.377           | -0.519         | 0.213    | 4            | 24            |
| 30.2                                  | 4.8                           | 0.550           | -0.791         | 0.298    | 8            | 1             |
| 32.0                                  | 4.8                           | 0.958           | -0.505         | 0.316    | 8            | 2             |
| 32.9                                  | 4.7                           | 0.681           | -0.558         | 0.294    | 8            | 3             |
| 43.7                                  | 4.6                           | 0.691           | -0.611         | 0.291    | 8            | 6             |
| 44.6                                  | 4.6                           | 0.409           | -0.658         | 0.237    | 8            | 9             |
| 53.1                                  | 4.6                           | 0.649           | -0.529         | 0.236    | 8            | 12            |
| 55.6                                  | 4.5                           | 0.429           | -0.793         | 0.297    | 8            | 15            |
| 66.6                                  | 4.4                           | 0.574           | -0.802         | 0.245    | 8            | 18            |
| 73.5                                  | 4.4                           | 0.525           | -0.679         | 0.257    | 8            | 21            |
| 79.9                                  | 4.4                           | 0.604           | -0.537         | 0.281    | 8            | 24            |
| 47.4                                  | 4.9                           | 0.560           | -0.592         | 0.261    | 12           | 1             |

فصلنامه علمی - پژوهشی اطلاعات جغرافیایی (جغر)

۱۲۱ / کاربرد مدل رگرسیون چندجمله‌ای ...

ادامه جدول ۵: خطای محدوده خطای مدل پیش‌بینی بزرگی پس‌لرزه اصلی برای الگوهای مختلف طبقه‌بندی پس‌لرزه‌ها

| متوسط فاصله زمانی پس‌لرزه اصلی (ساعت) | متوسط بزرگی پس‌لرزه اصلی (Mn) | حداکثر خطای مدل | حداقل خطای مدل | ریشه MSE | (روز) $dt_2$ | (ساعت) $dt_1$ | برای بزرگی در مقیاس ناتلی (Mn) |
|---------------------------------------|-------------------------------|-----------------|----------------|----------|--------------|---------------|--------------------------------|
|                                       |                               |                 |                |          |              |               |                                |
| 63.3                                  | 4.8                           | 0.588           | -0.537         | 0.222    | 12           | 3             |                                |
| 78.2                                  | 4.8                           | 0.600           | -0.675         | 0.269    | 12           | 6             |                                |
| 79.1                                  | 4.7                           | 0.553           | -0.733         | 0.261    | 12           | 9             |                                |
| 87.6                                  | 4.7                           | 0.515           | -0.560         | 0.230    | 12           | 12            |                                |
| 88.2                                  | 4.6                           | 0.577           | -0.612         | 0.286    | 12           | 15            |                                |
| 99.2                                  | 4.6                           | 0.608           | -0.856         | 0.268    | 12           | 18            |                                |
| 106.2                                 | 4.5                           | 0.519           | -0.851         | 0.253    | 12           | 21            |                                |
| 112.5                                 | 4.5                           | 0.599           | -0.740         | 0.301    | 12           | 24            |                                |
| 47.4                                  | 4.9                           | 0.560           | -0.592         | 0.261    | 16           | 1             |                                |
| 62.5                                  | 4.8                           | 0.880           | -0.560         | 0.287    | 16           | 2             |                                |
| 63.3                                  | 4.8                           | 0.588           | -0.537         | 0.222    | 16           | 3             |                                |
| 78.2                                  | 4.8                           | 0.600           | -0.675         | 0.269    | 16           | 6             |                                |
| 88.0                                  | 4.7                           | 0.542           | -0.735         | 0.263    | 16           | 9             |                                |
| 100.8                                 | 4.7                           | 0.518           | -0.563         | 0.232    | 16           | 12            |                                |
| 101.5                                 | 4.6                           | 0.605           | -0.649         | 0.296    | 16           | 15            |                                |
| 112.5                                 | 4.6                           | 0.616           | -0.861         | 0.273    | 16           | 18            |                                |
| 119.4                                 | 4.5                           | 0.512           | -0.835         | 0.251    | 16           | 21            |                                |
| 125.8                                 | 4.5                           | 0.592           | -0.719         | 0.297    | 16           | 24            |                                |
| 47.4                                  | 4.9                           | 0.560           | -0.592         | 0.261    | 20           | 1             |                                |
| 62.5                                  | 4.8                           | 0.880           | -0.560         | 0.287    | 20           | 2             |                                |
| 63.3                                  | 4.8                           | 0.588           | -0.537         | 0.222    | 20           | 3             |                                |
| 78.2                                  | 4.8                           | 0.600           | -0.675         | 0.269    | 20           | 6             |                                |
| 88.0                                  | 4.7                           | 0.542           | -0.735         | 0.263    | 20           | 9             |                                |
| 112.2                                 | 4.7                           | 0.514           | -0.568         | 0.235    | 20           | 12            |                                |
| 112.9                                 | 4.7                           | 0.613           | -0.631         | 0.294    | 20           | 15            |                                |
| 123.9                                 | 4.6                           | 0.614           | -0.833         | 0.273    | 20           | 18            |                                |
| 130.8                                 | 4.5                           | 0.516           | -0.811         | 0.251    | 20           | 21            |                                |
| 137.2                                 | 4.5                           | 0.580           | -0.708         | 0.298    | 20           | 24            |                                |

جدول ۶: خطای مدل پیش‌بینی فاصله زمانی پس‌لرزه اصلی برای الگوهای طبقه‌بندی پس‌لرزه‌ها

| متوسط بزرگی<br>پس‌لرزه اصلی<br>( $M_n$ ) | متوسط فاصله<br>زمانی پس‌لرزه<br>اصلی (ساعت) | حداکثر خطأ | حداقل خطأ | ریشه<br>MSE | $dt_2$ (روز) | $dt_1$<br>(ساعت) |
|--|---|------------|-----------|-------------|--------------|------------------|
|  |   |            |           |             |              |                  |
| 4.7                                      | 12.2  | 12.229     | -11.154   | 5.282       | 2            | 1                |
| 4.6                                      | 14.0  | 18.314     | -10.206   | 5.542       | 2            | 2                |
| 4.6                                      | 15.2  | 15.141     | -12.949   | 6.171       | 2            | 3                |
| 4.5                                      | 18.1  | 23.533     | -16.788   | 8.882       | 2            | 6                |
| 4.4                                      | 20.0  | 23.799     | -13.161   | 6.769       | 2            | 9                |
| 4.3                                      | 24.5  | 15.293     | -12.333   | 7.156       | 2            | 12               |
| 4.2                                      | 26.7  | 18.339     | -16.570   | 6.607       | 2            | 15               |
| 4.1                                      | 29.5  | 14.503     | -10.019   | 5.707       | 2            | 18               |
| 4.0                                      | 33.3  | 8.787      | -12.311   | 3.741       | 2            | 21               |
| 4.0                                      | 34.9  | 8.218      | -10.742   | 4.028       | 2            | 24               |
| 4.7                                      | 21.0  | 44.961     | -27.401   | 13.625      | 4            | 1                |
| 4.7                                      | 22.8  | 30.038     | -32.689   | 11.457      | 4            | 2                |
| 4.7                                      | 23.9  | 36.187     | -18.576   | 11.033      | 4            | 3                |
| 4.6                                      | 28.2  | 31.600     | -33.341   | 14.303      | 4            | 6                |
| 4.5                                      | 30.5  | 38.423     | -27.660   | 13.564      | 4            | 9                |
| 4.5                                      | 37.2  | 33.156     | -28.633   | 13.114      | 4            | 12               |
| 4.4                                      | 39.7  | 38.423     | -26.912   | 13.343      | 4            | 15               |
| 4.3                                      | 45.2  | 27.286     | -23.936   | 10.844      | 4            | 18               |
| 4.2                                      | 48.2  | 32.740     | -29.695   | 11.560      | 4            | 21               |
| 4.2                                      | 50.0  | 34.100     | -24.965   | 12.901      | 4            | 24               |
| 4.8                                      | 30.2  | 38.786     | -41.621   | 16.768      | 8            | 1                |
| 4.8                                      | 32.0  | 71.506     | -55.492   | 24.422      | 8            | 2                |
| 4.7                                      | 32.9  | 48.996     | -56.980   | 22.193      | 8            | 3                |
| 4.6                                      | 43.7  | 50.817     | -74.606   | 24.640      | 8            | 6                |
| 4.6                                      | 44.6  | 71.214     | -52.764   | 28.089      | 8            | 9                |
| 4.6                                      | 53.1  | 70.243     | -59.741   | 27.799      | 8            | 12               |
| 4.5                                      | 55.6  | 65.912     | -54.302   | 26.798      | 8            | 15               |
| 4.4                                      | 66.6  | 40.557     | -41.912   | 21.417      | 8            | 18               |
| 4.4                                      | 73.5  | 42.350     | -66.792   | 24.864      | 8            | 21               |
| 4.4                                      | 79.9  | 54.181     | -48.884   | 23.350      | 8            | 24               |

فصلنامه علمی - پژوهشی اطلاعات جغرافیایی (جغر)

کاربرد مدل رگرسیون چندجمله‌ای... / ۱۲۳

ادامه جدول ۶: خطای مدل پیش‌بینی فاصله زمانی پس‌لرزه اصلی برای الگوهای طبقه‌بندی پس‌لرزه‌ها

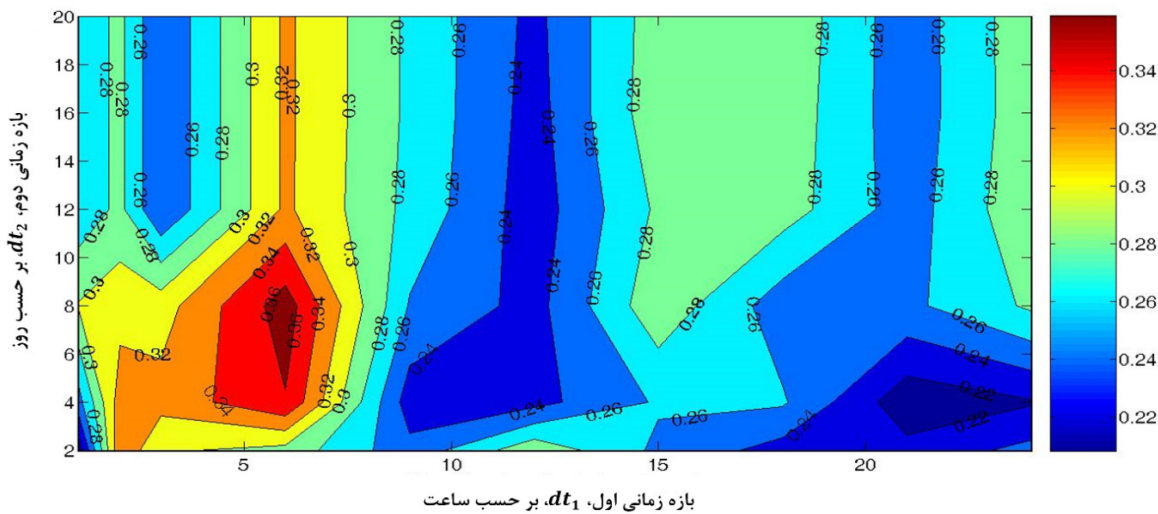
| متوسط بزرگی<br>پس‌لرزه اصلی<br>(Mn) | متوسط فاصله<br>زمانی پس‌لرزه<br>اصلی (ساعت) | حداکثر خطای<br>حداقل خطای | ریشه<br>MSE | برای فاصله زمانی بر حسب ساعت |    | $dt_1$<br>(روز) | $dt_2$<br>(ساعت) |
|-------------------------------------|---|---------------------------|-------------|------------------------------|----|-----------------|------------------|
|                                     |   |                           |             | برای فاصله زمانی بر حسب ساعت |    |                 |                  |
| 4.9                                 | 47.4  | 94.806                    | -89.555     | 43.450                       | 12 |                 | 1                |
| 4.8                                 | 62.5  | 137.984                   | -93.821     | 51.477                       | 12 |                 | 2                |
| 4.8                                 | 63.3  | 121.598                   | -118.600    | 57.222                       | 12 |                 | 3                |
| 4.8                                 | 78.2  | 101.706                   | -111.500    | 49.167                       | 12 |                 | 6                |
| 4.7                                 | 79.1  | 108.851                   | -121.013    | 56.647                       | 12 |                 | 9                |
| 4.7                                 | 87.6  | 118.274                   | -125.739    | 47.176                       | 12 |                 | 12               |
| 4.6                                 | 88.2  | 152.537                   | -141.123    | 50.144                       | 12 |                 | 15               |
| 4.6                                 | 99.2  | 102.687                   | -96.604     | 49.988                       | 12 |                 | 18               |
| 4.5                                 | 106.2                                       | 100.863                   | -117.064    | 44.954                       | 12 |                 | 21               |
| 4.5                                 | 112.5                                       | 116.008                   | -76.804     | 37.754                       | 12 |                 | 24               |
| 4.9                                 | 47.4  | 94.806                    | -89.555     | 43.450                       | 16 |                 | 1                |
| 4.8                                 | 62.5  | 137.984                   | -93.821     | 51.477                       | 16 |                 | 2                |
| 4.8                                 | 63.3  | 121.598                   | -118.600    | 57.222                       | 16 |                 | 3                |
| 4.8                                 | 78.2  | 144.716                   | -107.411    | 56.500                       | 16 |                 | 6                |
| 4.7                                 | 88.0  | 122.537                   | -135.329    | 63.588                       | 16 |                 | 9                |
| 4.7                                 | 100.8                                       | 109.439                   | -147.066    | 45.735                       | 16 |                 | 12               |
| 4.6                                 | 101.5                                       | 169.129                   | -125.358    | 54.573                       | 16 |                 | 15               |
| 4.6                                 | 112.5                                       | 133.355                   | -128.236    | 55.503                       | 16 |                 | 18               |
| 4.5                                 | 119.4                                       | 124.962                   | -141.427    | 58.044                       | 16 |                 | 21               |
| 4.5                                 | 125.8                                       | 103.884                   | -103.979    | 42.352                       | 16 |                 | 24               |
| 4.9                                 | 47.4  | 94.806                    | -89.555     | 43.450                       | 20 |                 | 1                |
| 4.8                                 | 62.5  | 137.984                   | -93.821     | 51.477                       | 20 |                 | 2                |
| 4.8                                 | 63.3  | 121.598                   | -118.600    | 57.222                       | 20 |                 | 3                |
| 4.8                                 | 78.2  | 144.716                   | -107.411    | 56.500                       | 20 |                 | 6                |
| 4.7                                 | 88.0  | 126.900                   | -139.223    | 65.975                       | 20 |                 | 9                |
| 4.7                                 | 112.2                                       | 125.991                   | -145.600    | 56.265                       | 20 |                 | 12               |
| 4.7                                 | 112.9                                       | 193.041                   | -164.562    | 63.296                       | 20 |                 | 15               |
| 4.6                                 | 123.9                                       | 121.950                   | -122.613    | 60.387                       | 20 |                 | 18               |
| 4.5                                 | 130.8                                       | 125.261                   | -148.399    | 60.365                       | 20 |                 | 21               |
| 4.5                                 | 137.2                                       | 119.363                   | -111.443    | 51.541                       | 20 |                 | 24               |

جدول ۷: ضرایب مدل‌های کوتاه‌مدت، میان‌مدت و بلندمدت برای پیش‌بینی بزرگی و زمان وقوع پس‌لرزه اصلی

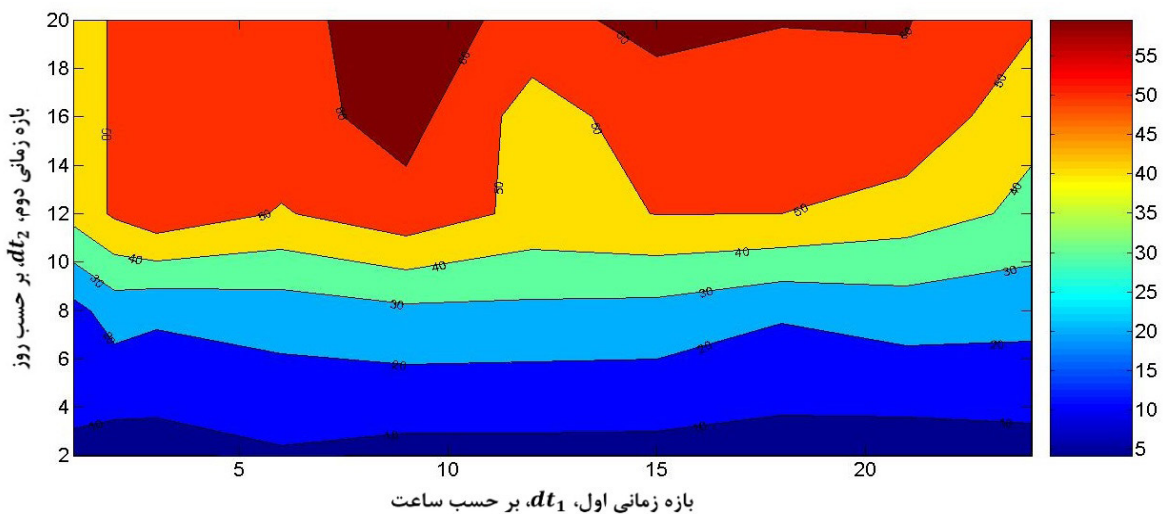
| (مدل بلندمدت)<br>پیش‌بینی ۲۰ روزه بر حسب داده‌های ۳ و ۱ ساعت ابتدایی |              | (مدل میان‌مدت)<br>پیش‌بینی ۸ روزه بر حسب داده‌های ۹ و ۱ ساعت ابتدایی |              | (مدل کوتاه‌مدت)<br>پیش‌بینی ۲ روزه بر حسب داده‌های ۱ و ۲۱ ساعت ابتدایی |              | تعداد<br>نمونه |
|--|--------------|--|--------------|--|--------------|----------------|
| مدل<br>فاصله زمانی   | مدل<br>بزرگی | مدل<br>فاصله زمانی   | مدل<br>بزرگی | مدل<br>فاصله زمانی   | مدل<br>بزرگی |                |
| -206.93  | -174.87      | -694.30  | -220.49      | 142.81   | -20.373      | 1              |
| 69.412   | 104.73       | 253.24   | 150.07       | -55.038  | 14.098       | 2              |
| -1.9887  | -16.343      | -6.5647  | -23.886      | 1.3802   | -1.5247      | 3              |
| 0.1601   | 0.8484       | 0.5162   | 1.2637       | -0.1088  | 0.0568       | 4              |
| 0.4799   | 0.0012       | 0.9562   | 0.0034       | 0.0056   | -0.1597      | 5              |
| 40.606   | 34.693       | 136.04   | 44.053       | -28.535  | 4.8298       | 6              |
| -0.0663  | 0.0010       | -0.0353  | -0.0014      | -0.0007  | -0.0194      | 7              |
| -1.5725  | -0.1671      | -2.2461  | 0.2964       | 0.2020   | 2.5578       | 8              |
| 36.079   | 34.811       | 132.94   | 43.922       | -28.608  | 4.8352       | 9              |
| 0.4376   | -0.0069      | -0.0059  | -0.0003      | -0.0008  | 0.0098       | 10             |
| -6.4698  | 0.1862       | -17.027  | -0.1892      | -0.0660  | 3.9765       | 11             |
| 42.250   | 34.737       | 134.84   | 43.738       | -28.773  | 4.8604       | 12             |
| 2.6443   | -0.0129      | -0.5130  | -0.0133      | 0.0011   | -0.1176      | 13             |
| 52.074   | -0.3605      | -16.519  | -0.4255      | -0.0617  | -0.1468      | 14             |
| 46.376   | 35.869       | 149.58   | 44.756       | -28.194  | 2.4317       | 15             |
| -10.186  | -0.2933      | -19.335  | -0.3315      | 0.0159   | 4.4356       | 16             |
| -2.7277  | -0.1199      | -2.1337  | 0.1622       | -0.0669  | 0.4939       | 17             |
| 0.2479   | 0.11573      | 0.5091   | -0.0675      | 0.0575   | -0.3209      | 18             |
| -41.622  | -34.768      | -140.90  | -43.988      | 28.588   | -3.4164      | 19             |
| -25.828  | -0.0341      | -87.049  | -0.1659      | 10.909   | -0.1817      | 20             |
| 78.641   | -1.74E-5     | 338.63   | 0.0045       | -35.259  | 0.0043       | 21             |
| 743.45   | -0.2144      | 711.27   | -1.2727      | 76.928   | -0.3534      | 22             |
| 1092.4   | -0.1584      | 1319.9   | -0.7913      | -26.067  | -0.2038      | 23             |
| 0.0089   | 0.0039       | 0.0114   | 0.0231       | 0.0005   | 0.0061       | 24             |
| -2.5280  | 0.1122       | 0.0781   | -0.1554      | -0.0912  | -2.4268      | 25             |
| 1.9337   | 0.1628       | 16.670   | 0.2111       | -0.0491  | -3.1235      | 26             |
| -71.186  | 0.2245       | 13.864   | 0.3614       | 0.0557   | 1.2448       | 27             |

## فصلنامه علمی - پژوهشی اطلاعات جغرافیایی (جغر)

۱۲۵ کاربرد مدل رگرسیون چندجمله‌ای ... /



نگاره ۳: منحنی‌های همتراز ریشه خطای مربعی متوسط برای مدل پیش‌بینی بزرگی پس‌لرزه اصلی بر حسب مقیاس ناتی



نگاره ۴: منحنی‌های همتراز ریشه خطای مربعی متوسط برای مدل پیش‌بینی زمان وقوع پس‌لرزه اصلی بر حسب ساعت

هر مدل، به روش اعمال خطای عمده به هر ضریب و انجام آزمون باقیمانده‌ها بر روی مشاهدات برآورده شده، از طریق شبیه‌سازی خطای انجام شد (K.Garbade 1977, 54-63) نتایج آزمون در جدول ۹ ارائه شده است. این آزمون نشان داد ضرایب هر سه مدل کوتاه‌مدت، میان‌مدت و بلندمدت برای برآورد بزرگی و فاصله زمانی پس‌لرزه اصلی در سطح اطمینان ۹۵ و ۹۹ درصد پایدارند. در نهایت متوسط دقت برآورده هر مدل در جدول ۱۰ ارائه شده است.

برای اطمینان از سرشکنی خطای و برآورد صحیح در هر مدل، آزمون فاکتورواریانس ثانویه انجام شد که نتایج در جدول ۸ نشان داده شده است. با توجه به این که محدوده این آزمون خی ۲ در سطح اطمینان ۹۵ درصد و درجه آزادی ۵، از حداقل ۰/۱۶۶ تا حداقل ۰/۵۶۶ است، آزمون همه مدل‌ها پذیرفته شد، به جزء مدل بلندمدت برای برآورد فاصله زمانی پس‌لرزه اصلی که نشان‌دهنده ضعف این مدل برای پیش‌بینی بلندمدت است. بررسی پایداری ضرایب

جدول ۸: مقادیر فاکتور واریانس ثانویه هر مدل برای آزمون بعد از برآورد ضرایب

| مدل برآورده زمانی     |                  | مدل برآورده بزرگی     |                  | نوع<br>مدل                        |
|-----------------------|------------------|-----------------------|------------------|-----------------------------------|
| فاکتور واریانس ثانویه | $dt_1$<br>(ساعت) | فاکتور واریانس ثانویه | $dt_1$<br>(ساعت) |                                   |
| ۰/۲۱۹                 | ۲۱               | ۰/۳۰۵                 | ۱                | کوتاهمدت ( $dt_2$ برابر با ۲ روز) |
| ۱/۷۸۷                 | ۱                | ۰/۲۴۳                 | ۹                | میانمدت ( $dt_2$ برابر با ۸ روز)  |
| ۱۲/۰۰۲                | ۱                | ۰/۳۱۳                 | ۳                | بلندمدت ( $dt_2$ برابر با ۲۰ روز) |

جدول ۹: مقادیر آزمون باقیماندهای برآورد شده مطابق خطای عمدی شبیه‌سازی شده در سه سطح برای پایداری ضرایب هر مدل

| مدل برآورده زمانی |        |        |                  | مدل برآورده بزرگی |       |       |                  | نوع<br>مدل                        |
|-------------------|--------|--------|------------------|-------------------|-------|-------|------------------|-----------------------------------|
| 1s                | 2s     | 3s     | $dt_1$<br>(ساعت) | 1s                | 2s    | 3s    | $dt_1$<br>(ساعت) |                                   |
| ۰/۳۵۴             | ۰/۵۱۵  | ۲/۵۰۴  | ۲۱               | ۰/۳۰۶             | ۰/۳۰۸ | ۰/۳۰۸ | ۱                | کوتاهمدت ( $dt_2$ برابر با ۲ روز) |
| ۱/۸۲۵             | ۲/۰۴۷  | ۲/۴۸۶  | ۱                | ۰/۲۸۰             | ۰/۸۴۹ | ۲/۳۰۱ | ۹                | میانمدت ( $dt_2$ برابر با ۸ روز)  |
| ۱۲/۰۱۶            | ۱۲/۰۶۵ | ۱۲/۱۴۴ | ۱                | ۰/۳۵۸             | ۰/۷۴۹ | ۰/۸۱۴ | ۳                | بلندمدت ( $dt_2$ برابر با ۲۰ روز) |

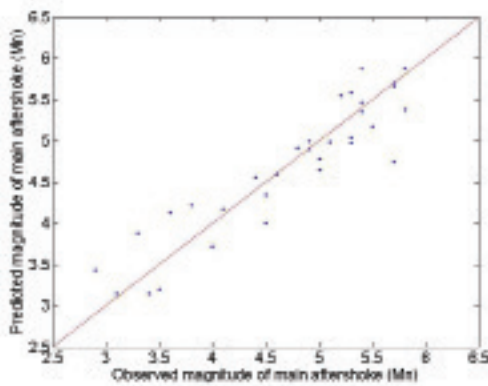
جدول ۱۰: دقت متوسط برآورده بزرگی و فاصله زمانی بزرگترین پسلرزه بعد از وقوع زلزله اصلی، با مدل‌های کوتاهمدت، میانمدت و بلندمدت

| مدل برآورده زمانی |                  | مدل برآورده بزرگی |                  | نوع<br>مدل                        |
|-------------------|------------------|-------------------|------------------|-----------------------------------|
| دقت بر حسب ساعت   | $dt_1$<br>(ساعت) | دقت بر حسب $M_n$  | $dt_1$<br>(ساعت) |                                   |
| ±۳/۱              | ۲۱               | ±۰/۲۱             | ۱                | کوتاهمدت ( $dt_2$ برابر با ۲ روز) |
| ±۱۹/۳             | ۱                | ±۰/۲۳             | ۹                | میانمدت ( $dt_2$ برابر با ۸ روز)  |
| ±۳۸/۵             | ۱                | ±۰/۲۲             | ۳                | بلندمدت ( $dt_2$ برابر با ۲۰ روز) |

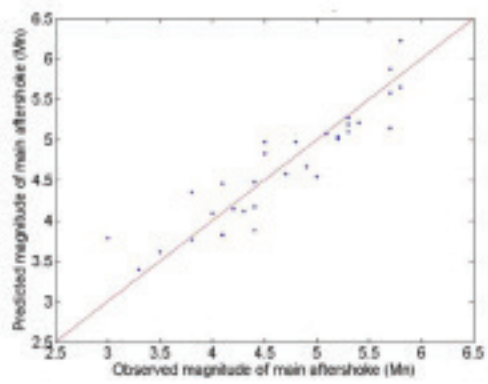
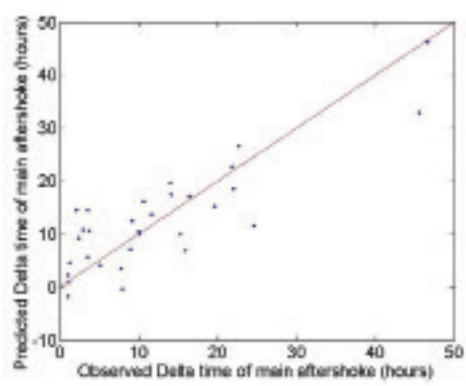
## فصلنامه علمی - پژوهشی اطلاعات جغرافیایی (جغر)

۱۲۷ / کاربرد مدل رگرسیون چندجمله‌ای ...

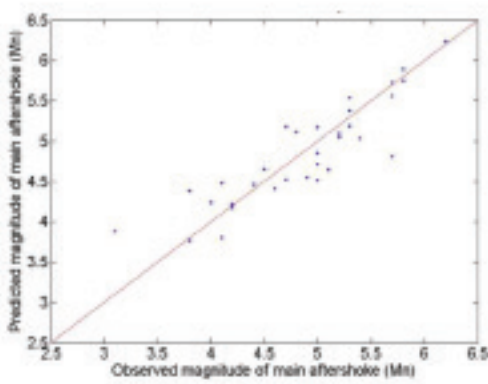
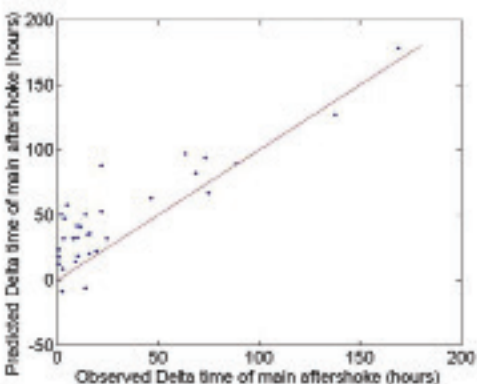
خطای هر مدل به طور جداگانه بررسی شده و نمودارهای همبستگی بین داده‌های مدل شده و داده‌های واقعی نیز بدست آمده است. نمودارهای همبستگی برای مدل‌های پیش‌بینی کوتاه‌مدت، میان‌مدت و بلندمدت، در نگاره ۵ به طور جداگانه نشان داده شده است. هر یک از این نمودارها، نشان‌دهنده همبستگی قابل قبول به ویژه بین بزرگی داده‌های واقعی و داده‌های پیش‌بینی شده برای ۳۲ رویداد مورد استفاده در این مدل‌سازی است.



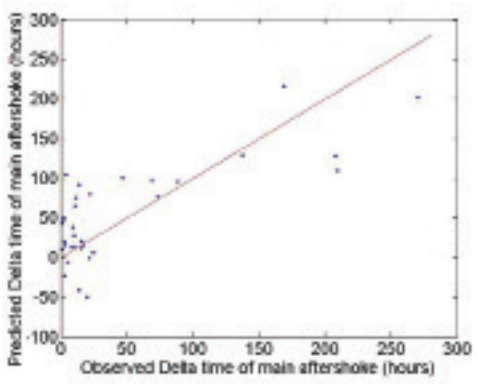
(الف) مدل برآورد کوتاه مدت



(ب) مدل برآورد میان مدت



(ج) مدل برآورد بلند مدت



نگاره ۵: نمودار همبستگی بین داده‌های مدل شده و داده‌های واقعی در برآورد بزرگی و فاصله زمانی وقوع پس لرزه اصلی

جدول ۱۱: مشخصات زلزله‌های مورد استفاده برای ارزیابی توانایی مدل‌های پیشنهادی و کمیت‌های طبقه‌بندی پس‌لرزه‌های مدل کوتاه‌مدت

| n1 | n1/2 | n1/4 | dt6 | n6 | dt5 | n5 | dt4  | n4 | dt3  | n3 | بزرگی (Mn) | طول جغرافیایی | عرض جغرافیایی | زمان جهانی | روز | ماه | سال  | ردیف |
|----|------|------|-----|----|-----|----|------|----|------|----|------------|---------------|---------------|------------|-----|-----|------|------|
| 13 | 7    | 4    | 0   | 0  | 0   | 0  | 0.12 | 6  | 0.14 | 6  | 5.9        | 47.5          | 37.7          | 22.78      | 7   | 11  | 2019 | 1    |
| 14 | 9    | 5    | 0   | 0  | 0.1 | 1  | 0.19 | 4  | 0.12 | 8  | 5.6        | 29.5          | 37.4          | 6.57       | 20  | 3   | 2019 | 2    |
| 14 | 8    | 4    | 0   | 0  | 0   | 0  | 0.12 | 1  | 0.08 | 12 | 5.6        | 38.7          | 39.7          | 3.37       | 22  | 9   | 2011 | 3    |
| 13 | 7    | 3    | 0   | 0  | 0   | 0  | 0.71 | 1  | 0.09 | 11 | 5.9        | 39.3          | 38.3          | 11.09      | 21  | 2   | 2007 | 4    |
| 17 | 7    | 5    | 0   | 0  | 0   | 0  | 0.79 | 1  | 0.06 | 15 | 6.0        | 40.0          | 38.8          | 2.54       | 8   | 3   | 2010 | 5    |
| 12 | 2    | 2    | 0   | 0  | 0   | 0  | 0.23 | 4  | 0.14 | 7  | 5.3        | 40.5          | 39.0          | 0.46       | 1   | 5   | 2003 | 6    |
| 11 | 5    | 3    | 0   | 0  | 0   | 0  | 0.75 | 3  | 0.41 | 7  | 5.8        | 60.30         | 34.03         | 4.49       | 02  | 01  | 2020 | 7    |
| 26 | 17   | 9    | 0   | 0  | 0   | 0  | 0.19 | 13 | 0.23 | 12 | 5.9        | 44.56         | 38.49         | 16.01      | 23  | 02  | 2020 | 8    |
| 55 | 26   | 2    | 0   | 0  | 0   | 0  | 0.42 | 1  | 0    | 0  | 5.7        | 53.43         | 27.63         | 17.30      | 09  | 06  | 2020 | 9    |

مدل کوتاه‌مدت و میان‌مدت خطای کمتری در پیش‌بینی بزرگی پس‌لرزه اصلی دارند.

جدول ۱۲: خطای پیش‌بینی بزرگی و فاصله زمانی پس‌لرزه اصلی با استفاده از مدل کوتاه‌مدت برای زلزله‌های مورد ارزیابی

| کوتاه‌مدت<br>(یک ساعته، دو روز) |                         | پس‌لرزه اصلی            |               | شماره<br>زلزله   |
|---------------------------------|-------------------------|-------------------------|---------------|------------------|
| خطا در<br>فاصله زمانی<br>(ساعت) | خطا در<br>بزرگی<br>(Mn) | فاصله<br>زمانی<br>(روز) | بزرگی<br>(Mn) |                  |
| 4.7                             | 0.06                    | 0.63                    | 4.8           | 1                |
| 2.2                             | 0.04                    | 0.46                    | 4.2           | 2                |
| -0.8                            | -0.15                   | 0.28                    | 4.2           | 3                |
| -0.0                            | -0.48                   | 0.25                    | 3.5           | 4                |
| -3.5                            | -0.03                   | 0.22                    | 5.5           | 5                |
| 0.7                             | -0.13                   | 0.38                    | 4.5           | 6                |
| 2.2                             | -0.21                   | 0.23                    | 4.6           | 7                |
| 3.5                             | 0.08                    | 1.93                    | 4.2           | 8                |
| 9.1                             | 0.25                    | 1.39                    | 4.1           | 9                |
| 2.96                            | 0.15                    | 0.64                    | 4.4           | میانگین قدر مطلق |

##### ۵- ارزیابی مدل‌های پیش‌بینی پس‌لرزه اصلی

در اینجا به منظور ارزیابی مدل‌های پیشنهادی پژوهش حاضر، از زلزله‌هایی که در منطقه ایران یا نزدیک به آن رخداده، استفاده شده است. بدین منظور، از زلزله‌های بزرگ‌تر از ۵/۶ ریشتر که بعد از ساخت مدل در ایران اتفاق افتاده‌اند (زلزله‌ای شماره ۱، ۲، ۷، ۸ و ۹ در جدول ۱۱) و همچنین چند زلزله مختلف در کشور ترکیه به دلیل نزدیکی به ایران (زلزله‌ای ۳ تا ۶ در جدول ۱۱)، استفاده شد.

ارزیابی مدل انتخاب شده براساس طبقه‌بندی کوتاه‌مدت، میان‌مدت و بلند‌مدت به‌طور جداگانه انجام شده است. به عنوان نمونه، پارامترهای مربوط به طبقه‌بندی پس‌لرزه‌های مدل کوتاه‌مدت در جدول ۱۱ نشان داده شده است. نتایج خطای هر زلزله و برای هر مدل در جداول ۱۲ تا ۱۴ ارائه شده است. همانطور که مشاهده می‌شود، میانگین قدر مطلق خطاهای (سطر آخر هر جدول) در پیش‌بینی مقدار بزرگی برای هریک از سه مدل کوتاه‌مدت، میان‌مدت و بلند‌مدت به ترتیب برابر ۰/۱۵، ۰/۱۸ و ۰/۲۳ و با میانگین ۰/۱۸ در مقیاس ناتلی می‌باشد (خطای نسبی برابر ۰/۲۳، ۳/۱، ۳/۱ و ۴/۳ درصد بزرگی پس‌لرزه اصلی است). به عبارتی، دو

## فصلنامه علمی - پژوهشی اطلاعات جغرافیایی (۲۸)

کاربرد مدل رگرسیون چندجمله‌ای... / ۱۲۹

اما در پیش‌بینی فاصله زمانی پس‌لرزه اصلی، خطا برای سه حالت کوتاه‌مدت، میان‌مدت و بلندمدت به ترتیب برابر با  $۲/۹۶$ ،  $۱۵/۲$  و  $۳۶/۳$  ساعت و با میانگین  $۱۸/۱$  ساعت (خطای نسبی به ترتیب  $۱۹/۲$ ،  $۱۵/۲$  و  $۲۶/۳$  درصد) است. به این ترتیب مدل بلندمدت منجر به خطای بیشتری در پیش‌بینی فاصله زمانی پس‌لرزه اصلی می‌شود. لذا با توجه به ساختار احتمالی داده‌های زمانی زلزله، به نظر می‌رسد مدل رگرسیون چندجمله‌ای قادر به پیش‌بینی فاصله زمانی پس‌لرزه اصلی برای دوره‌های بلندمدت نیست.

### ۶- نتیجه‌گیری

در این پژوهش، براساس اطلاعات مربوط به  $۳۲$  زلزله رخ داده در سال‌های  $۲۰۰۶$  تا  $۲۰۲۰$ ، یک مدل رگرسیون چندجمله‌ای برای پیش‌بینی بزرگی و زمان وقوع پس‌لرزه اصلی در یک بازه زمانی مشخص، پیشنهاد شد. پارامترهای این مدل، دربرگیرنده اطلاعات مربوط به زلزله اصلی و اولین پس‌لرزه‌های رویداده پس از زلزله اصلی هستند. نتایج این پژوهش نشان می‌دهد:

- می‌توان بزرگای قوی‌ترین پس‌لرزه در دوره‌های کوتاه‌مدت (پیش‌بینی  $۲$  روزه)، میان‌مدت (پیش‌بینی  $۸$  روزه) و بلندمدت (پیش‌بینی  $۲۰$  روزه) را تنها براساس اطلاعات مربوطه به طبقه‌بندی پس‌لرزه‌ها در  $۱$ ،  $۹$  و  $۳$  ساعت ابتدایی بعد از وقوع زلزله اصلی پیش‌بینی کرد.

- بین دو مدل بزرگی و برآورد زمان پس‌لرزه اصلی، می‌توان مدل بزرگی را بهتر از مدل زمان وقوع پس‌لرزه اصلی دانست. لذا بر اساس جداول  $۶$  و  $۱۱$ ، پیش‌بینی زمان وقوع پس‌لرزه اصلی برای سه حالت کوتاه‌مدت، میان‌مدت و بلندمدت، با دقت متوسط  $۲۰/۳$  ساعت و بیشترین خطای بزرگی با دقت متوسط  $۰/۲۲$  و بیشترین خطای  $۰/۶ \pm ۹۴/۸$  ساعت، چندان مطلوب نیست. در صورتی که مدل بزرگی با دقت متوسط  $۰/۰$  و بیشترین خطای  $۰/۶ \pm ۰/۶$  در مقایس ناتلی (براساس جداول  $۵$  و  $۱۱$ )، می‌تواند نتایج خوبی را برای پیش‌بینی به دنبال داشته باشد.

- با توجه به موفقیت این مدل‌سازی در برآورد بزرگی

جدول ۱۳: خطای پیش‌بینی بزرگی و فاصله زمانی پس‌لرزه اصلی با استفاده از مدل میان‌مدت برای زلزله‌های مورد ارزیابی

| میان‌مدت<br>(۹ ساعته، ۸ روز)    | پس‌لرزه اصلی            | شماره<br>زلزله          |               |                 |
|---------------------------------|-------------------------|-------------------------|---------------|-----------------|
| خطا در<br>فاصله زمانی<br>(ساعت) | خطا در<br>بزرگی<br>(Mn) | فاصله<br>زمانی<br>(روز) | بزرگی<br>(Mn) |                 |
| -4.5                            | -0.17                   | 0.63                    | 4.8           | 1               |
| -3.6                            | 0.04                    | 7.20                    | 4.3           | 2               |
| -17.5                           | -0.21                   | 4.29                    | 3.9           | 3               |
| 33.9                            | 0.00                    | 7.37                    | 4.9           | 4               |
| -11.5                           | 0.22                    | 0.52                    | 4.7           | 5               |
| 9.7                             | 0.07                    | 7.05                    | 4.6           | 6               |
| 9.9                             | -0.29                   | 3.22                    | 4.0           | 7               |
| 2.4                             | -0.13                   | 1.93                    | 4.2           | 8               |
| 44.1                            | 0.53                    | 5.03                    | 5.2           | 9               |
| 15.2                            | 0.18                    | 4.14                    | 4.5           | میانگین قدرمطلق |

جدول ۱۴: خطای پیش‌بینی بزرگی و فاصله زمانی پس‌لرزه اصلی با استفاده از مدل بلندمدت برای زلزله‌های مورد ارزیابی

| بلندمدت<br>(۳ ساعته، ۲۰ روز)    | پس‌لرزه اصلی            | شماره<br>زلزله          |               |                 |
|---------------------------------|-------------------------|-------------------------|---------------|-----------------|
| خطا در<br>فاصله زمانی<br>(ساعت) | خطا در<br>بزرگی<br>(Mn) | فاصله<br>زمانی<br>(روز) | بزرگی<br>(Mn) |                 |
| -84.5                           | 0.03                    | 0.63                    | 4.8           | 1               |
| -11.7                           | 0.07                    | 11.20                   | 5.1           | 2               |
| 45.6                            | -0.07                   | 8.04                    | 4.4           | 3               |
| 28.4                            | -0.34                   | 7.37                    | 4.9           | 4               |
| 10.6                            | 0.42                    | 0.22                    | 5.5           | 5               |
| 22.2                            | 0.03                    | 7.05                    | 4.6           | 6               |
| -1.85                           | -0.45                   | 0.23                    | 4.6           | 7               |
| 89.1                            | -0.32                   | 11.93                   | 4.4           | 8               |
| 33.2                            | 0.36                    | 5.03                    | 5.2           | 9               |
| 36.3                            | 0.23                    | 5.74                    | 4.8           | میانگین قدرمطلق |

پس لرزه‌های ایران. مقاله ارائه شده در دهمین همایش انجمن زمین‌شناسی ایران، دانشگاه تربیت مدرس. ۴- ریاضی‌راد، قیاطنچی؛ زهره‌السادات، محمدرضا. (۱۳۸۴). بررسی آهنگ کاهش پس لرزه. مقاله ارائه شده در دوازدهمین کنفرانس ژئوفیزیک، سازمان زمین‌شناسی، تهران، ایران.

۵- کامران‌زاد، موسوی، مجرب، معماریان؛ فرناز، لاله‌السادات، مسعود، حسین (۱۳۹۴). بررسی رفتار کاهندگی پس لرزه‌های زمین‌لرزه‌ای متوسط تا بزرگ در فلات ایران. فصلنامه علمی پژوهشی علوم زمین، بهار ۹۴، سال ۲۴، شماره ۹۵، ص ۱۴۳ تا ۱۵۴.

۶- مرکز لرزه‌نگاری ایران، مؤسسه ژئوفیزیک، دانشگاه تهران، ایران، ([www.irsc.ut.ac.ir](http://www.irsc.ut.ac.ir)).

7- Asencio-Cortés, G., Morales-Esteban, A., Shang, X., & Martínez-Álvarez, F. (2018). Earthquake prediction in California using regression algorithms and cloud-based big data infrastructure. *Computers & Geosciences*, 115, 198-210.

8- Bulletin of International Seismological Center, ([www.isc.ac.uk](http://www.isc.ac.uk)).

9- Castellaro, S., Mulargia, F., & Kagan, Y. Y. (2006). Regression problems for magnitudes. *Geophysical Journal International*, 165(3), 913-930.

10- Christoffersen, A., & Smith, E. G. (2000). A global model for aftershock behaviour. Paper presented at the Proceedings of the 12th World Conference on Earthquake Engineering, Auckland, New Zealand.

11- Enescu, B., Mori, J., & Miyazawa, M. (2007). Quantifying early aftershock activity of the 2004 mid-Niigata Prefecture earthquake (Mw6. 6). *Journal of Geophysical Research: Solid Earth*, 112(B4).

12- Garbade , K (1977) . Two methods for examining the stability of regression coefficients. *Journal of the american statistical association*. Vol 72, No 537, pp 54-63.

13- Gardner, J., & Knopoff, L. (1974). Is the sequence of earthquakes in Southern California, with aftershocks removed, Poissonian? *Bulletin of the Seismological*

پس لرزه اصلی، پیشنهاد می‌شود در تحقیقات آتی از این نوع مدل‌ها برای بررسی وقوع پس لرزه اصلی زلزله‌های دیگر مناطق جهان که دارای رفتار منابع لرزه‌زای مشابه هستند، استفاده شود.

● برای هر سه مدل پیش‌بینی کوتاه‌مدت، میان‌مدت و بلند‌مدت بزرگی زلزله اصلی، برداشت اطلاعات مربوط به پس لرزه‌ها در حداقل ۱ و حداقل ۹ ساعت ابتدایی پس از وقوع زمین‌لرزه اصلی، برای طبقه‌بندی پس لرزه‌ها و ورود کمیت‌ها به مدل، کفايت می‌کند.

● مدل‌های چندجمله‌ای که ضرایب آن‌ها از زلزله‌های یک منطقه به دست آمده‌اند، می‌توانند با دقت مناسبی برای پیش‌بینی بزرگی پس لرزه‌ها در آن منطقه استفاده شوند.

● از مدل‌های پیشنهادی در این پژوهش نمی‌توان برای برآورد مشخصات پس لرزه‌ها در مناطقی نظیر جنوب‌شرق ایران که زلزله‌های آن دارای پس لرزه‌های قابل توجهی نیستند، استفاده کرد.

## ۷- قدردانی

نگارندگان از مؤسسه ژئوفیزیک دانشگاه تهران (IRSC) و مرکز بین‌المللی زلزله (ISC) به‌دلیل در اختیار قرار دادن داده‌های لرزه‌نگاری مورد استفاده در این مقاله، تشکر و قدردانی می‌نمایند.

## ۸- منابع و مأخذ

۱- داوودی، توکلی، جلیلیان، زارع؛ ...، عبدالله، مهدی. (۱۳۹۷). خوشبندی کاتالوگ لرزه‌یی و مدل‌سازی پس لرزه‌ها با استفاده از مدل ETAS. *مجله علمی پژوهشی مهندسی عمران شریف*, ۳۴, ۲(۴)، ۳۴-۲، ۴-۳۵.

۲- رستمی، یحیی‌آبادی؛ سید قاسم، علی‌اکبر (۱۳۹۸). مدل‌سازی فرکانسی وقوع زلزله‌ها با استفاده ازتابع تبدیل فوریه. *فصلنامه علمی پژوهشی مدل‌سازی در مهندسی*، doi:10.22075/jme.2019.17954.1730

۳- ریاضی‌راد، زهره السادات (۱۳۸۵). مدل‌سازی

فصلنامه علمی - پژوهشی اطلاعات جغرافیایی (جغر)

کاربرد مدل رگرسیون چندجمله‌ای... / ۱۳۱

Society of America, 64(5), 1363-1367.

14- Hamdache, M., Peláez, J., & Talbi, A. (2013). Analysis

of aftershock sequences in South and Southeastern Spain.

Physics and Chemistry of the Earth, Parts A/B/C, 63, 55-76.

15- Harte D.S (2018). Effect of size parameter estimates and earthquake forecasts. Geophysical Journal International, V. 214 Aug 2018, 759-772.

16- Ikram A and U. Qamar (2016). Seismic data analysis for earthquake prediction: A machine learning approach. Computer engineering department, National University of Sciences and Technology (NUST).

17 -Karimzadeh, S., Matsuoka, M., Kuang, J., & Ge, L. (2019). Spatial Prediction of Aftershocks Triggered by a Major Earthquake: A Binary Machine Learning Perspective. ISPRS International Journal of Geo-Information, 8(10), 462.

18- Marcellini, A. (1997). Physical model of aftershock temporal behaviour. Tectonophysics, 277(1-3), 137-146.

19- Ogata, Y., & Shimazaki, K. (1984). Transition from aftershock to normal activity: the 1965 Rat Islands earthquake aftershock sequence. Bulletin of the Seismological Society of America, 74(5), 1757-1765.

20- Omori, F. (1894). On the after-shocks of earthquakes (Vol. 7): Imperial University, Japan.

21- Öztürk, S., & Şahin, Ş. (2019). A statistical space-time-magnitude analysis on the aftershocks occurrence of the July 21th, 2017 MW= 6.5 Bodrum-Kos, Turkey, earthquake. Journal of Asian Earth Sciences, 172, 443-457.

22- Reasenberg, P. A., & Jones, L. M. (1989). Earthquake hazard after a mainshock in California. Science, 243(4895), 1173-1176.

23- Thapa, D. R., Tao, X., Fan, F., & Tao, Z. (2018). Aftershock analysis of the 2015 Gorkha-Dolakha (Central Nepal) earthquake doublet. *Heliyon*, 4(7), e00678.

24- Utsu, T. (1970). Aftershocks and earthquake statistics (1): Some parameters which characterize an aftershock sequence and their interrelations. Journal of the Faculty of Science, Hokkaido University. Series 7, Geophysics, 3(3), 129-195.

